

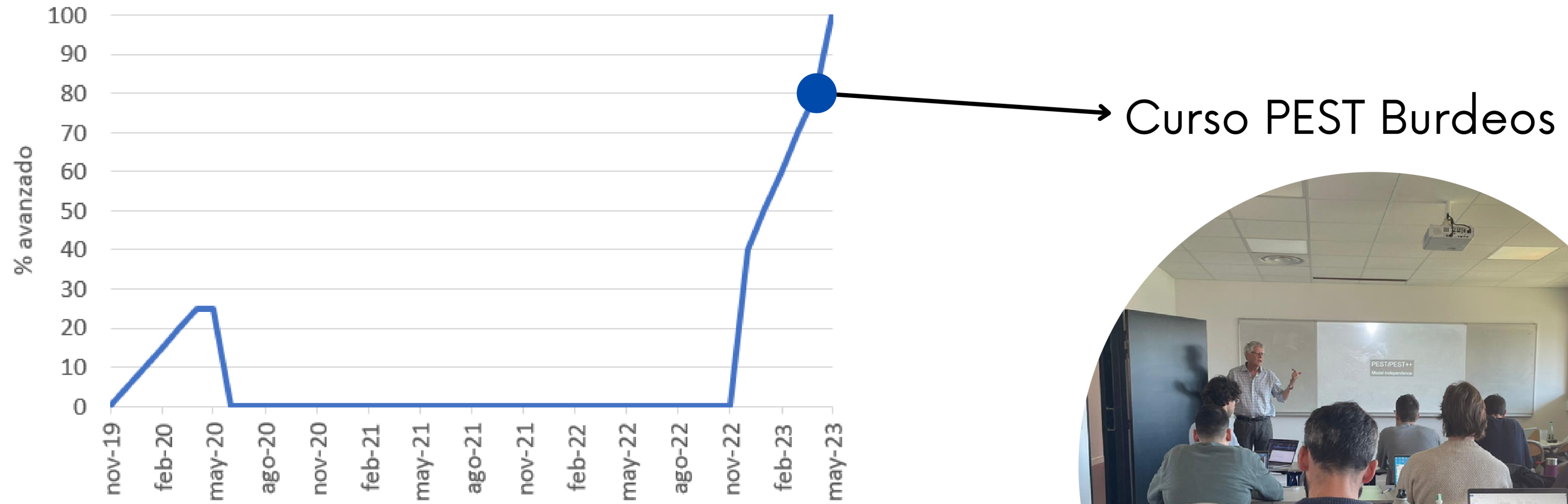
IBER-PEST

El comienzo de una hermosa amistad

Gonzalo García-Alén
g.glores@udc.es



Introducción



Dancing with Models

PEST

1990 - Universidad de Melbourne, Australia
Watermark Numerical Computing, Australia

Fortran
John Doherty

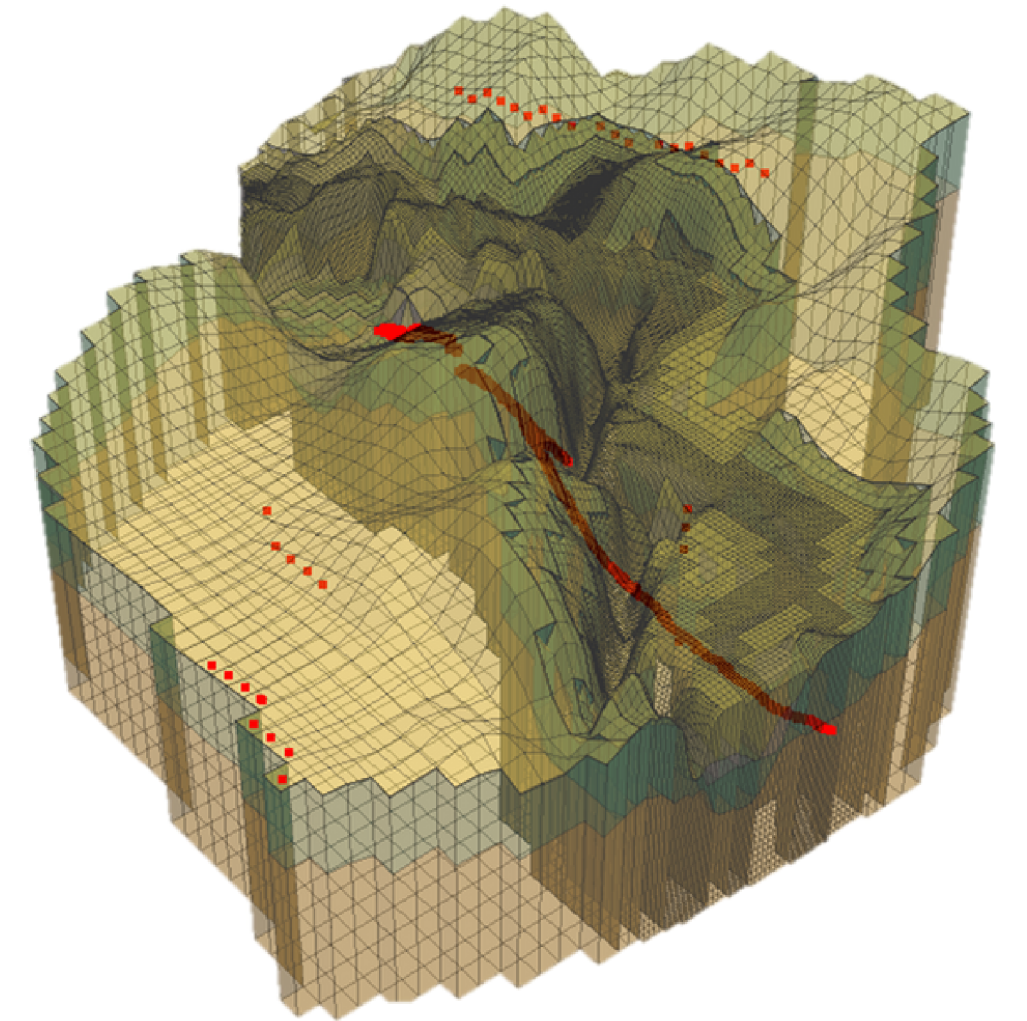
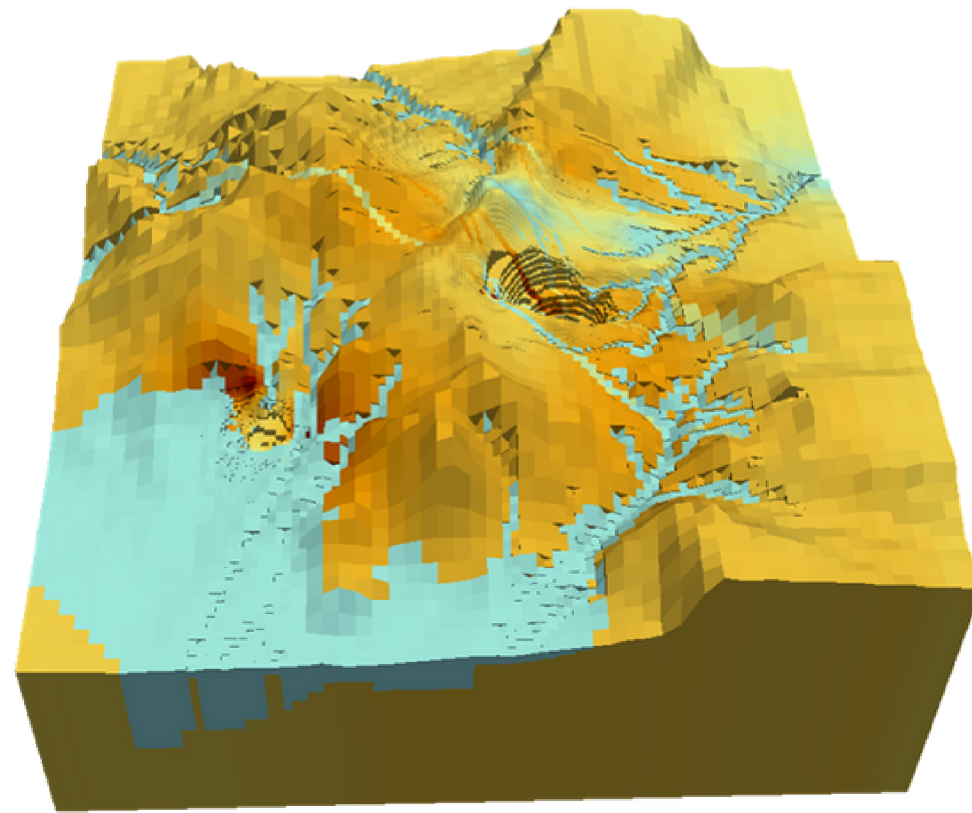
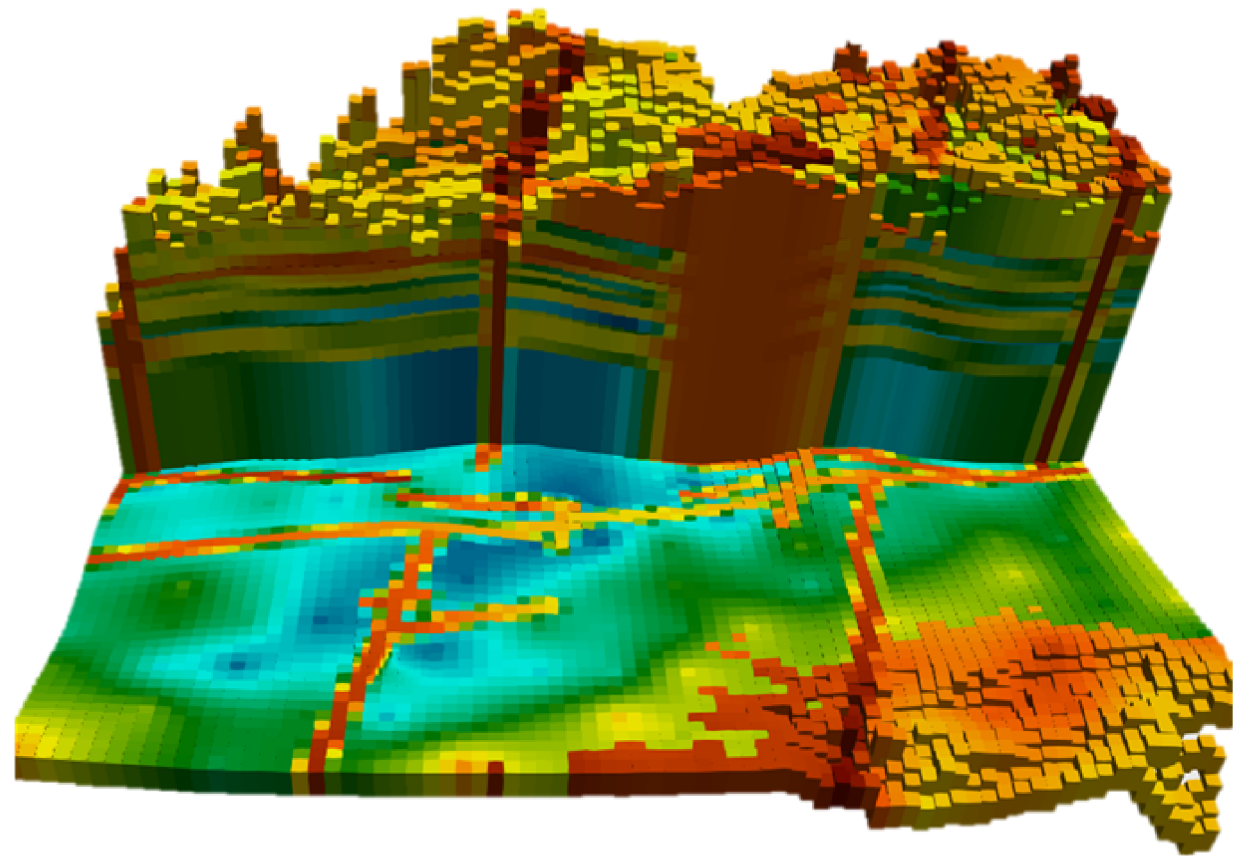
PEST++

2005 - Watermark Numerical Computing, Australia
USGS, USA

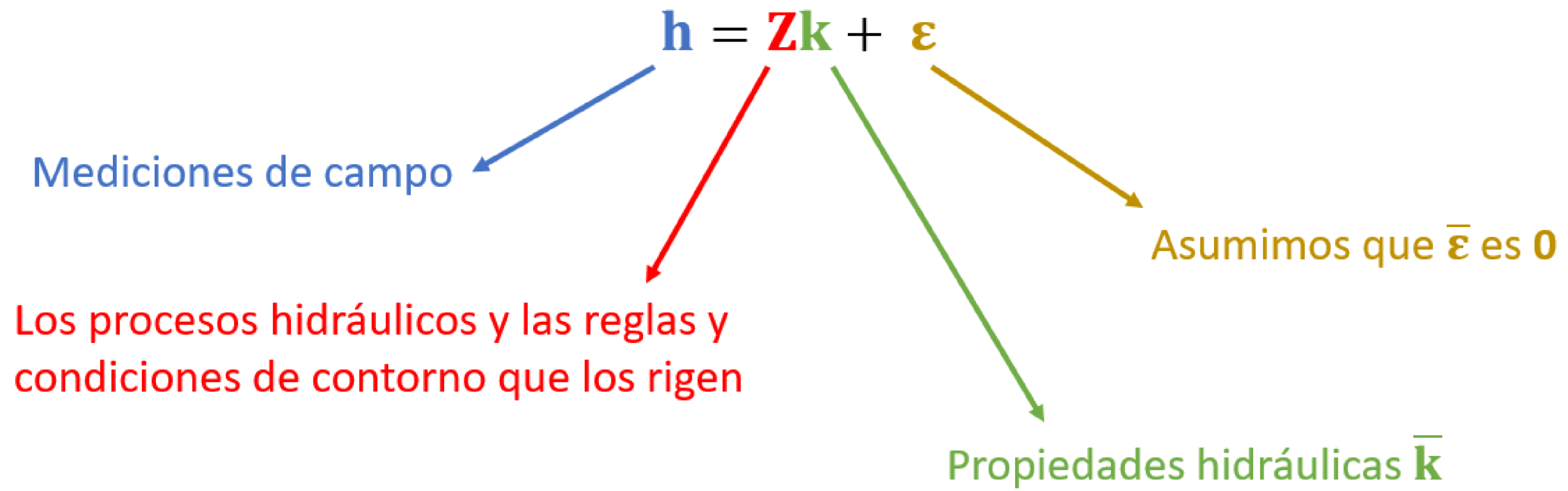
C++
Jeremy White, John Doherty, et. al.



Contexto

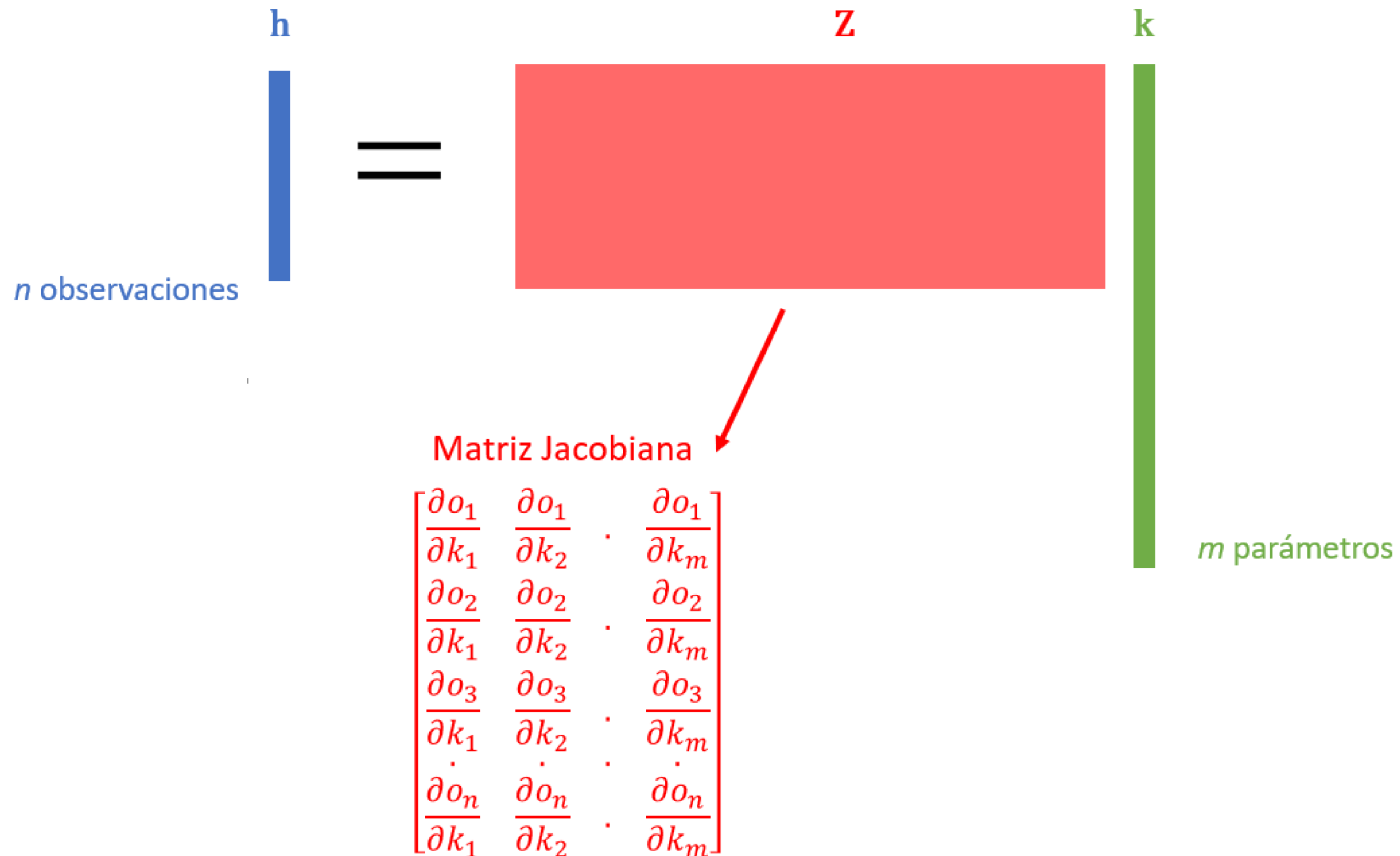


PEST/PEST++

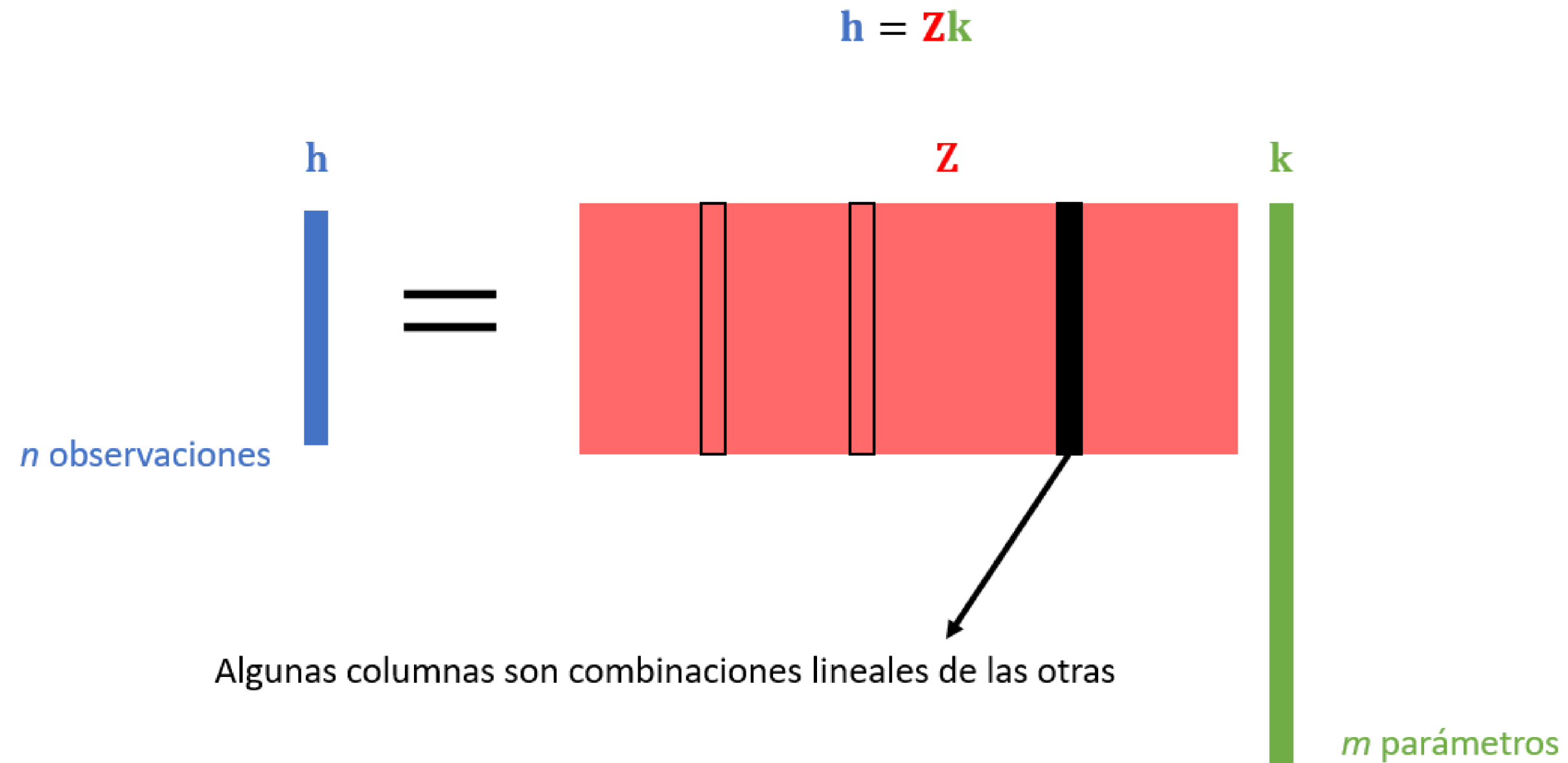


PEST/PEST++

$$\mathbf{h} = \mathbf{Zk}$$



Espacio nulo



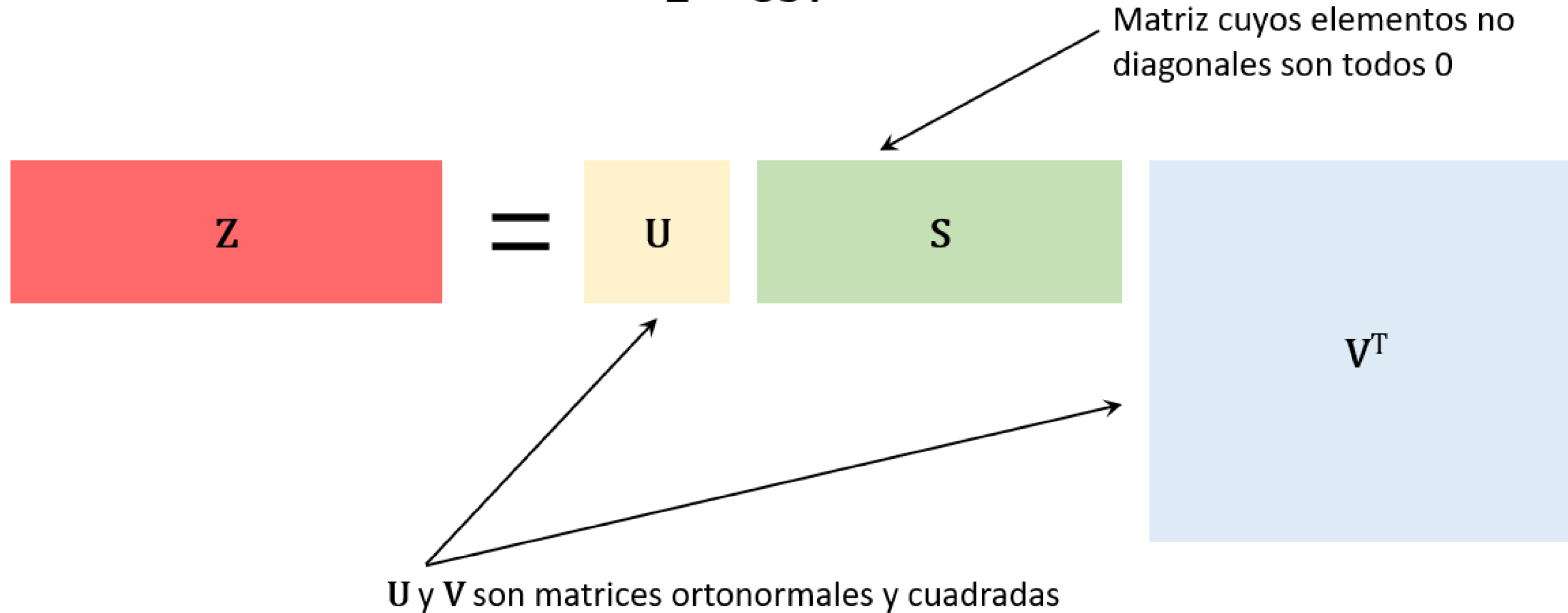
$$\mathbf{h} = \mathbf{Z}\mathbf{k}$$

$$\mathbf{0} = \mathbf{Z}\delta\mathbf{k}$$

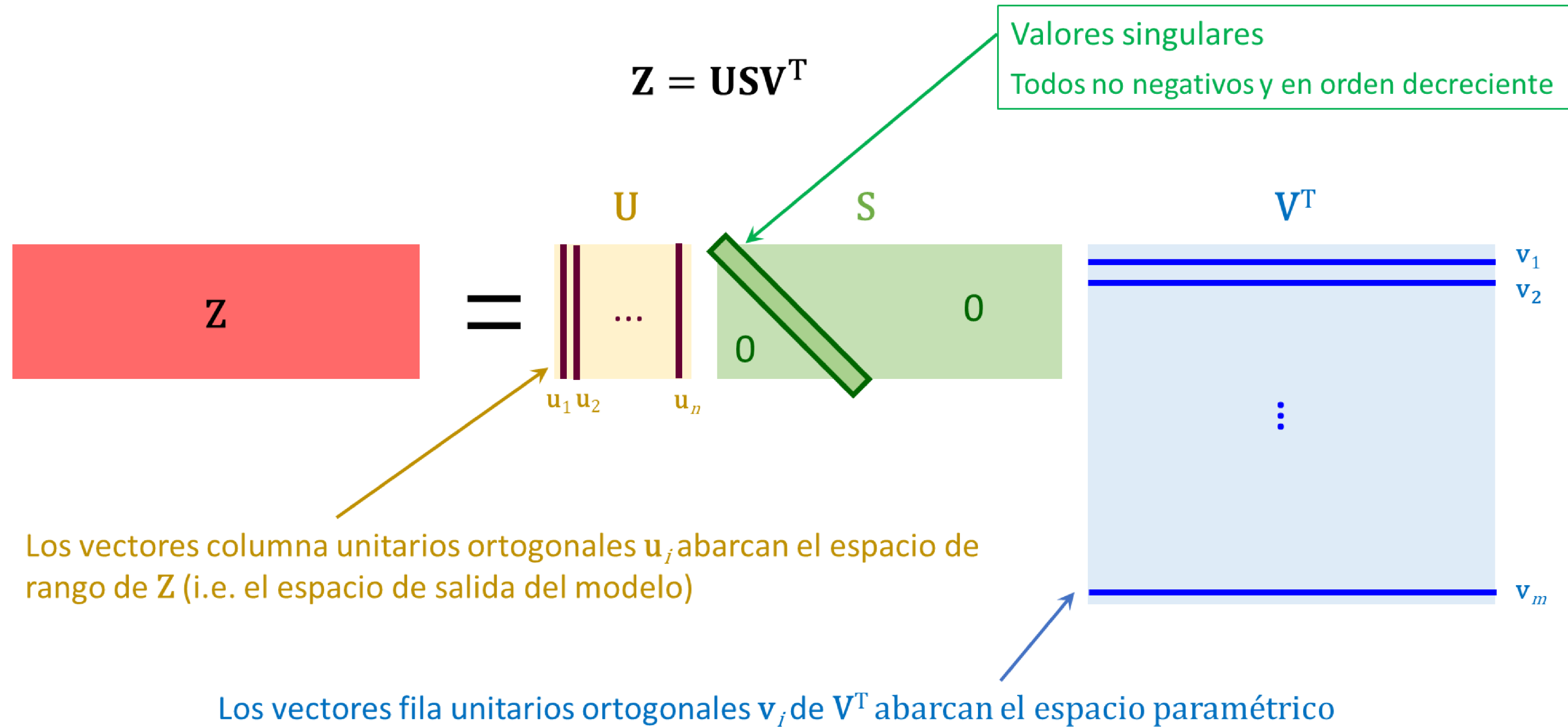
$$\mathbf{h} = \mathbf{Z}(\mathbf{k} + \delta\mathbf{k}) \longrightarrow \begin{array}{l} \text{No hay singularidad!} \\ \text{El problema está mal planteado} \end{array}$$

SVD: Singular Value Decomposition

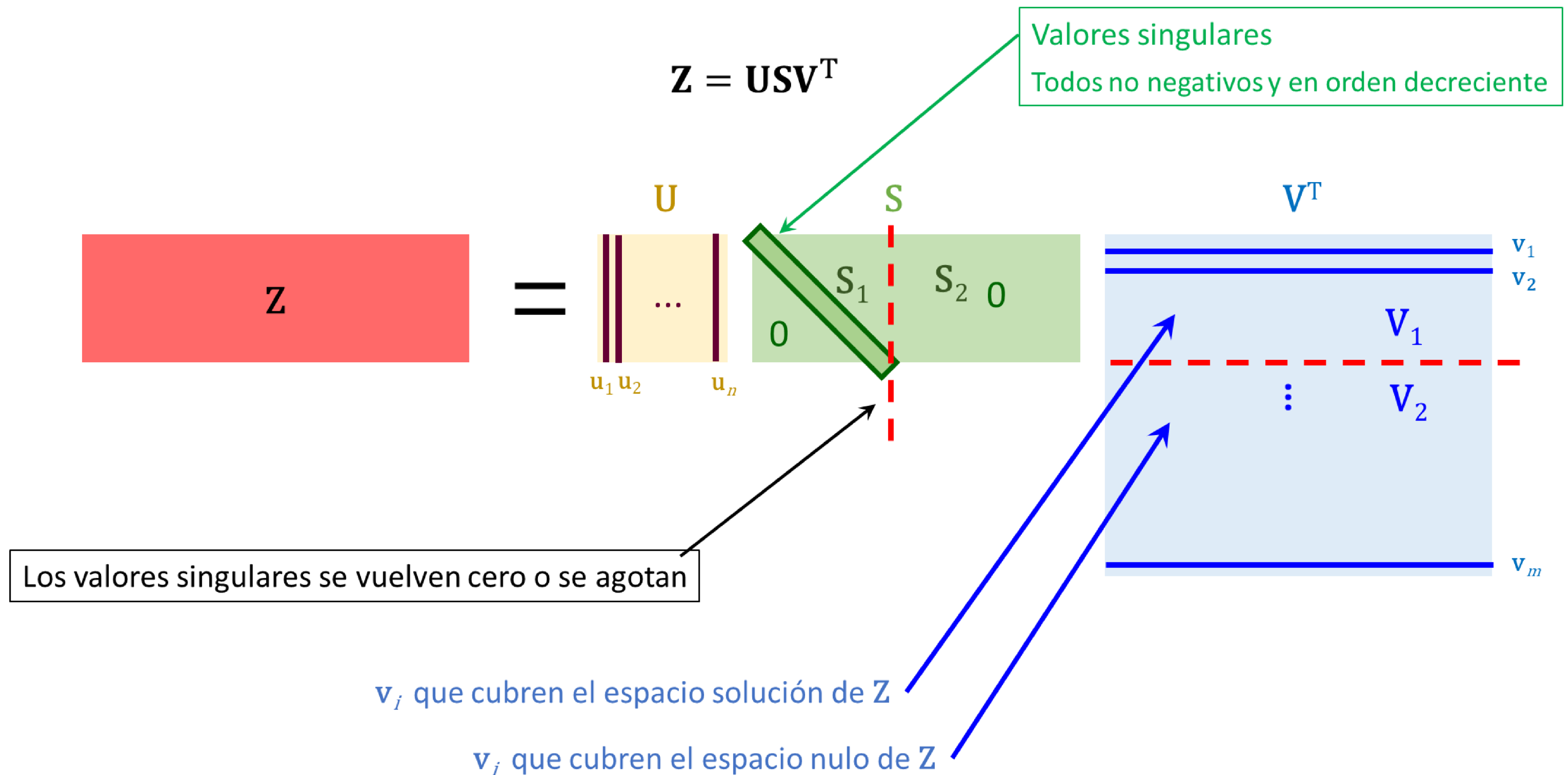
$$Z = USV^T$$



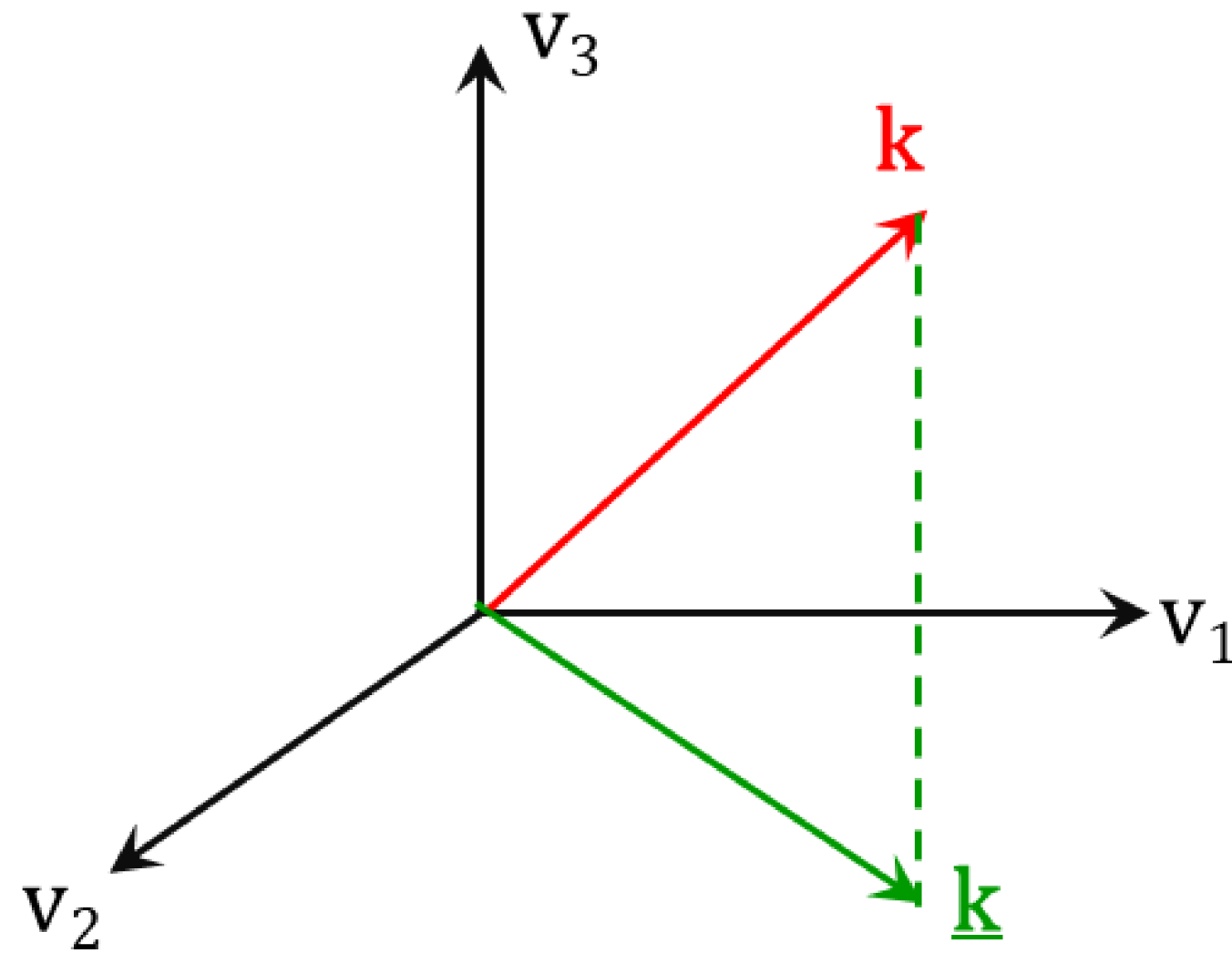
SVD: Singular Value Decomposition



SVD: Singular Value Decomposition

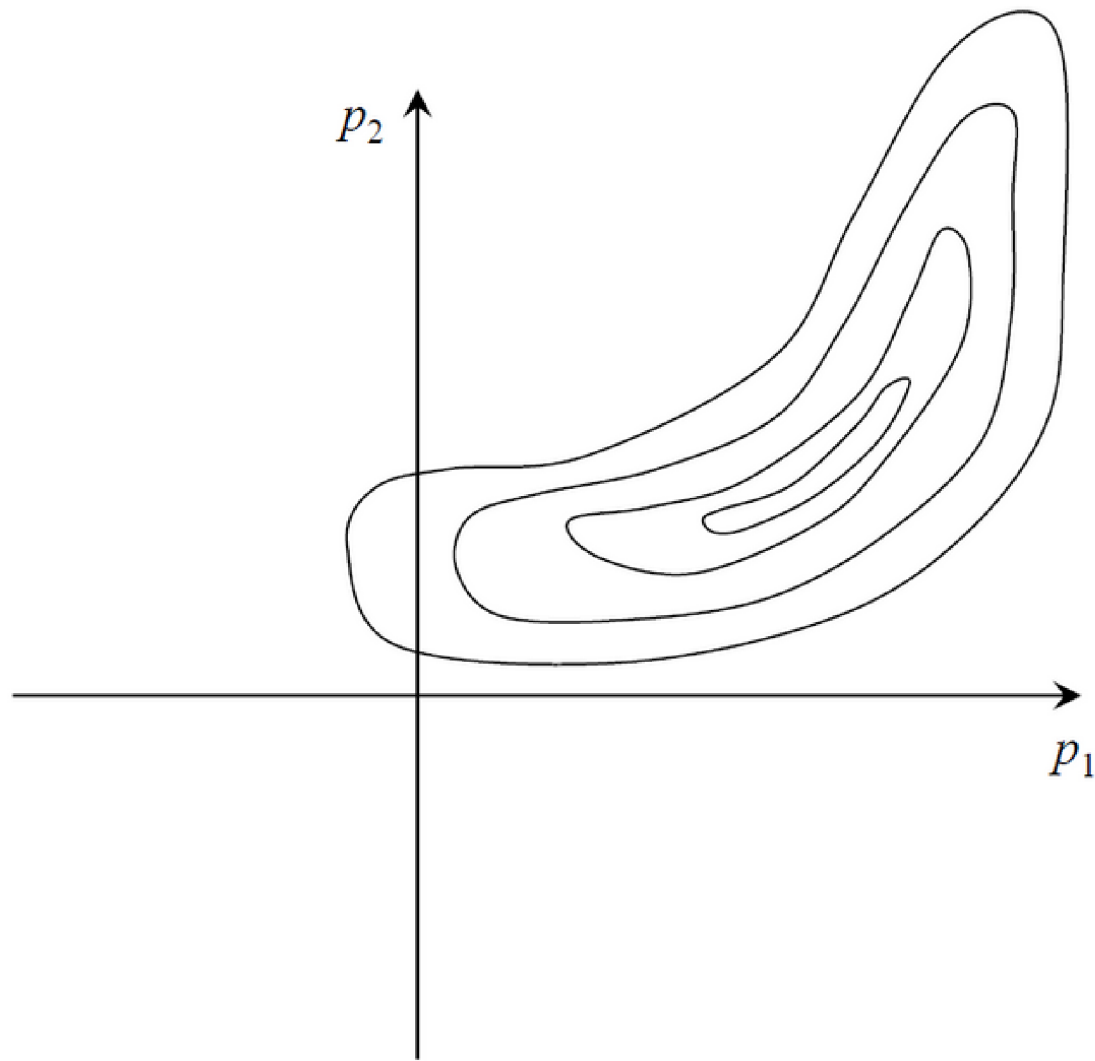


SVD: Singular Value Decomposition



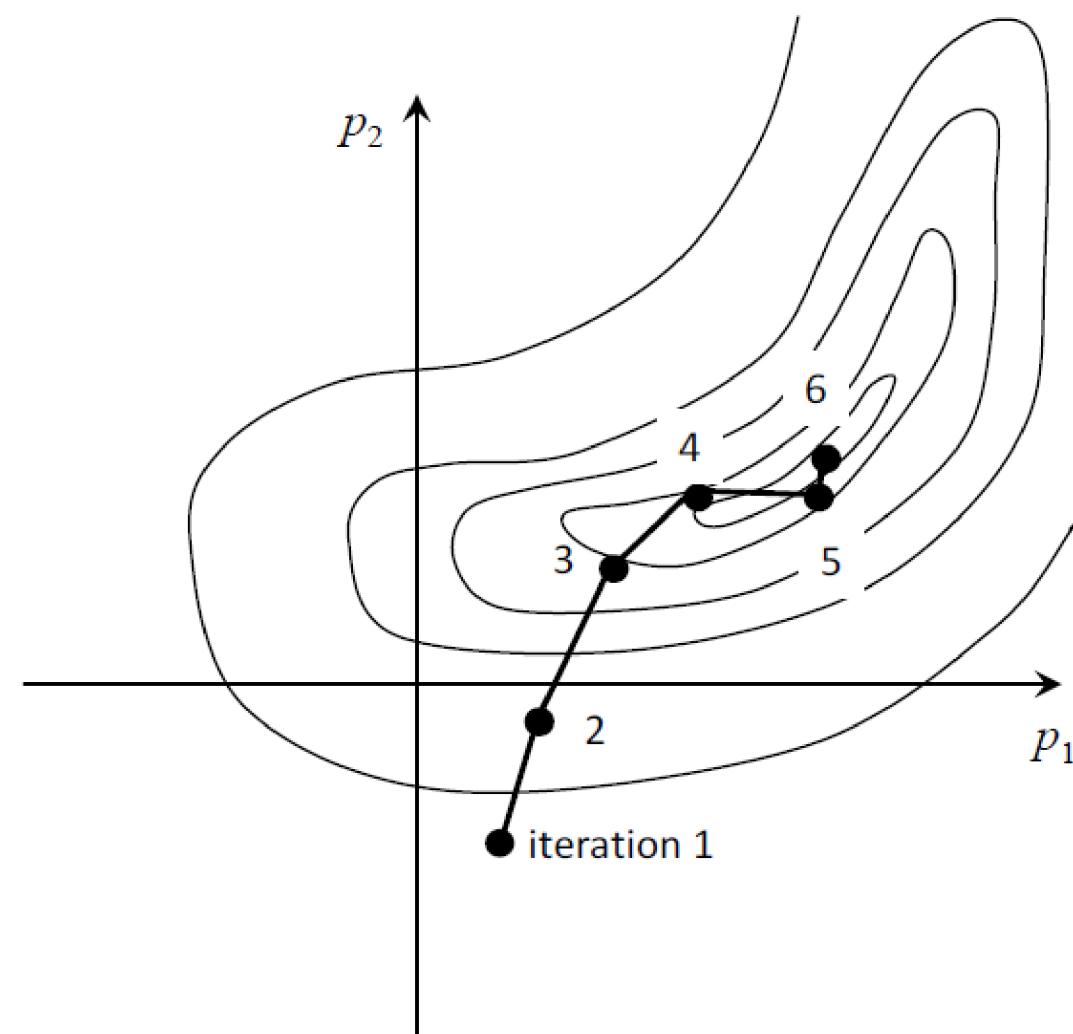
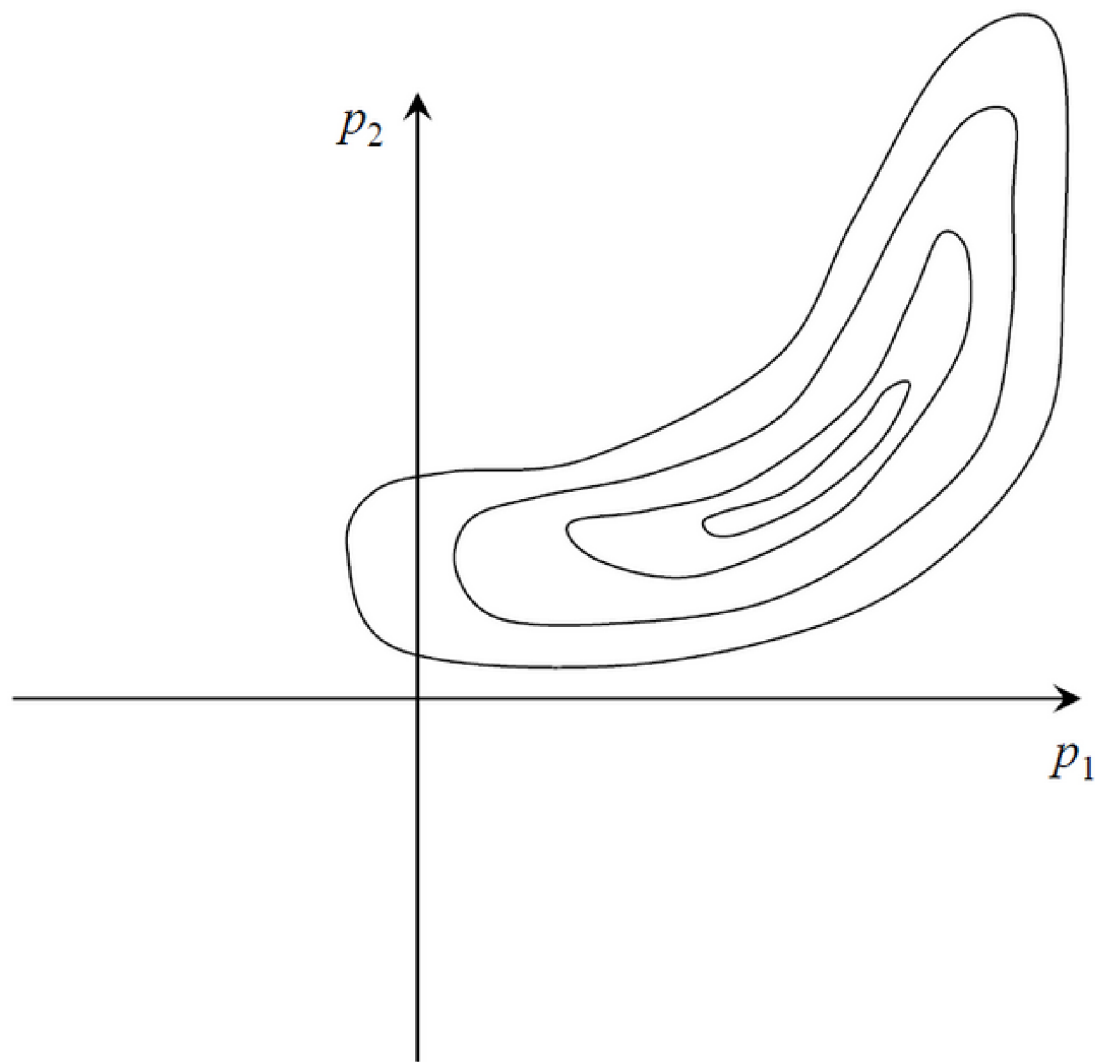
Función objetivo

$$\Phi = \sum (w_i r_i)^2$$



Función objetivo

$$\Phi = \sum (w_i r_i)^2$$



$$\Phi = \mathbf{r}^t \mathbf{Q} \mathbf{r} = (\mathbf{h} - \mathbf{X} \mathbf{p})^t \mathbf{Q} (\mathbf{h} - \mathbf{X} \mathbf{p})$$

$$\mathbf{p} = (\mathbf{X}^t \mathbf{Q} \mathbf{X})^{-1} \mathbf{X}^t \mathbf{Q} \mathbf{h}$$

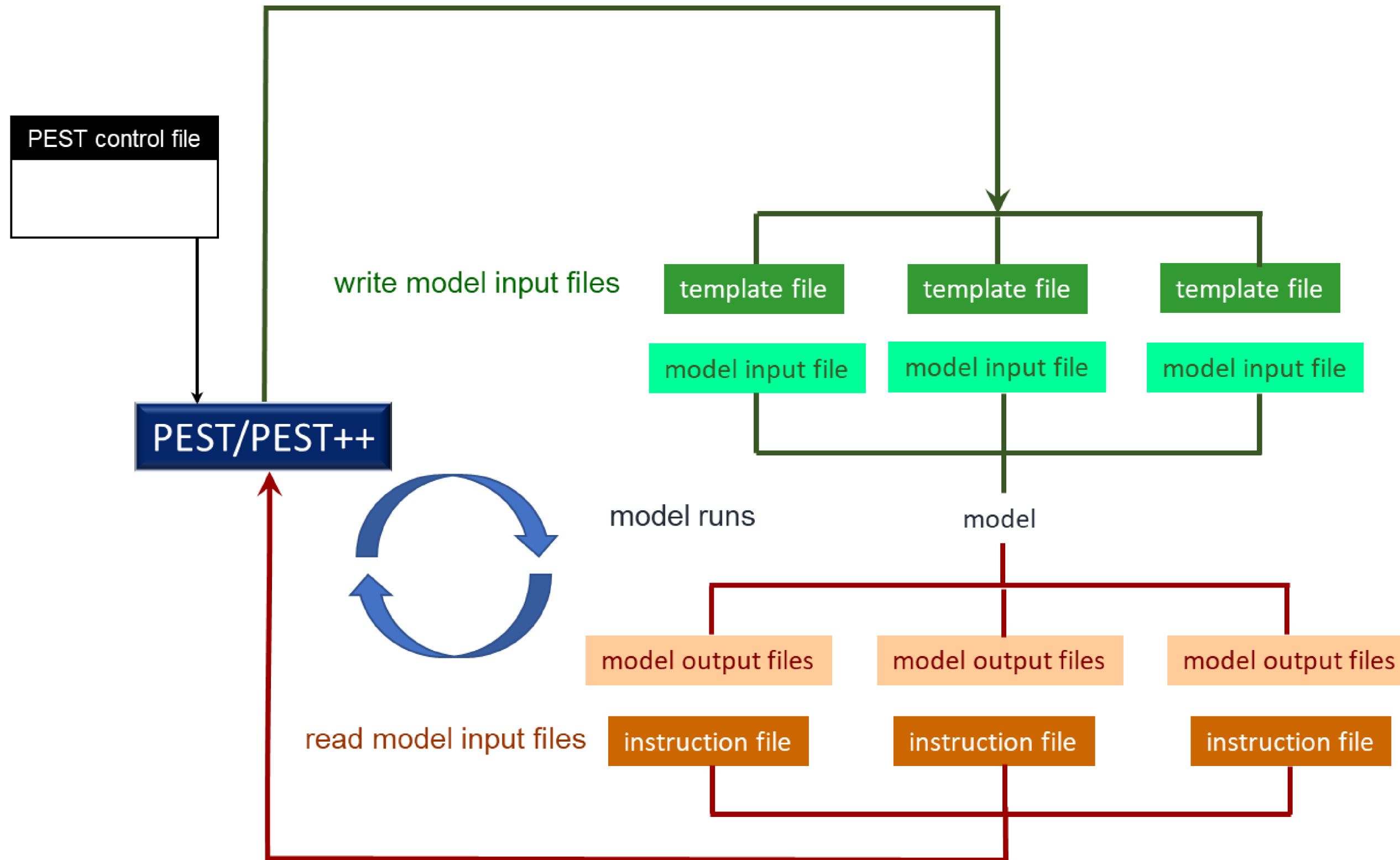
$$\mathbf{p} = (\mathbf{X}^t \mathbf{Q} \mathbf{X})^{-1} \mathbf{X}^t \mathbf{Q} \mathbf{X} \mathbf{p} + (\mathbf{X}^t \mathbf{Q} \mathbf{X})^{-1} \mathbf{X}^t \mathbf{Q} \boldsymbol{\varepsilon}$$

$$\mathbf{p} = \mathbf{p} + (\mathbf{X}^t \mathbf{Q} \mathbf{X})^{-1} \mathbf{X}^t \mathbf{Q} \boldsymbol{\varepsilon}$$

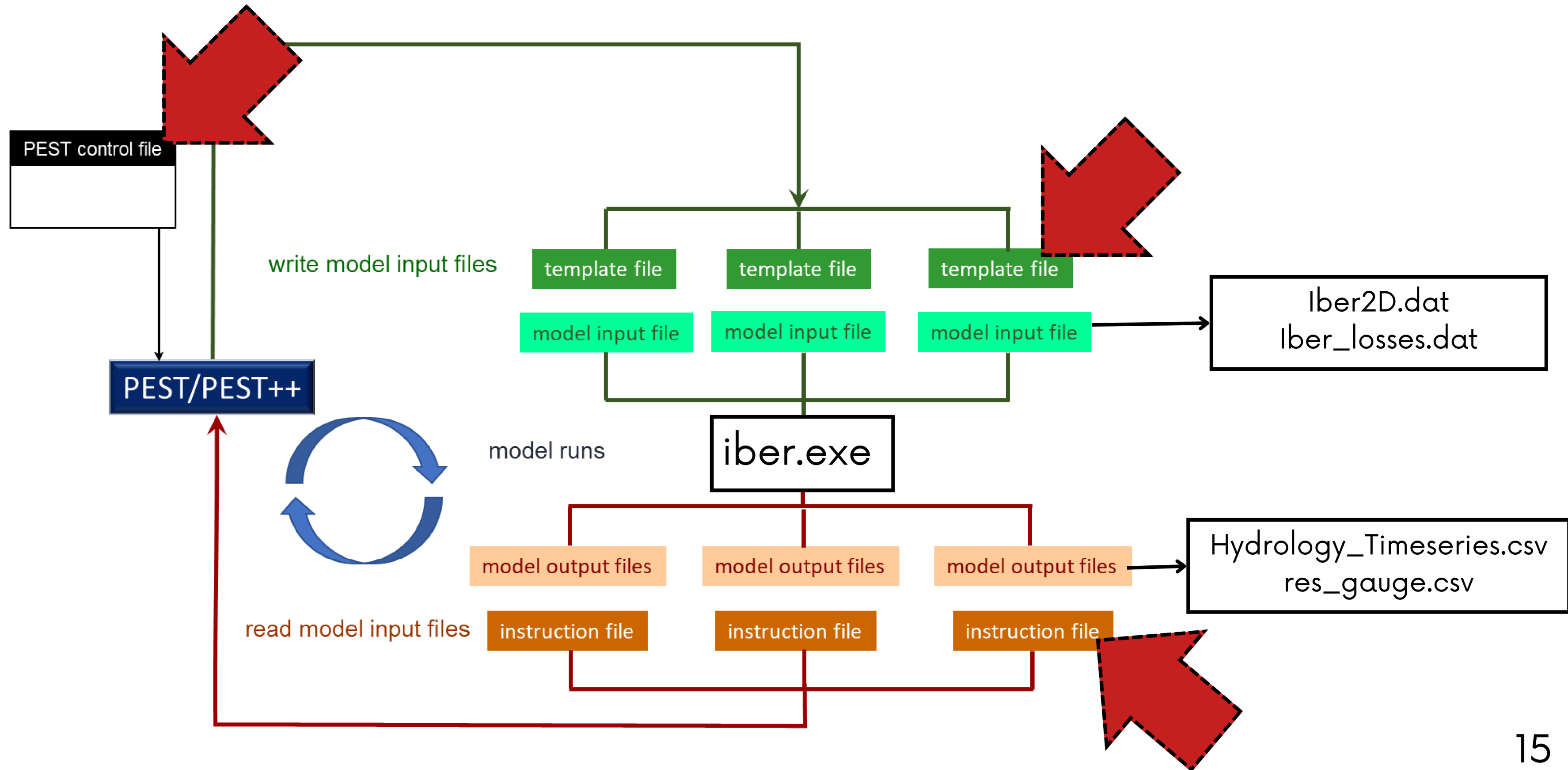
$$\mathbf{p} - \mathbf{p}_0 = (\mathbf{J}^t \mathbf{Q} \mathbf{J} + \lambda \mathbf{I})^{-1} \mathbf{J}^t \mathbf{Q} \mathbf{r}$$

↓
Lambda de Marquardt

PEST/PEST++

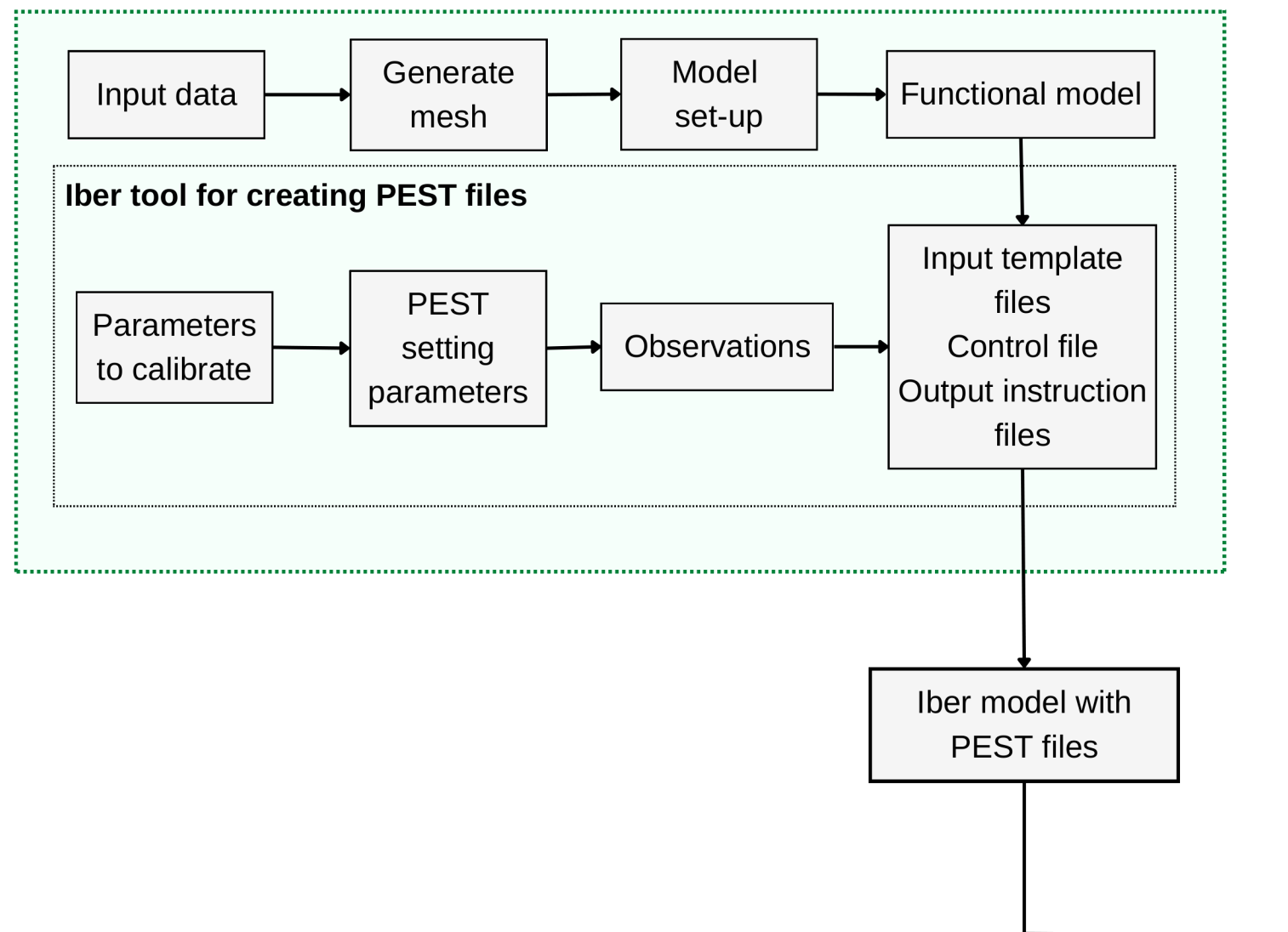


PEST/PEST++ con Iber

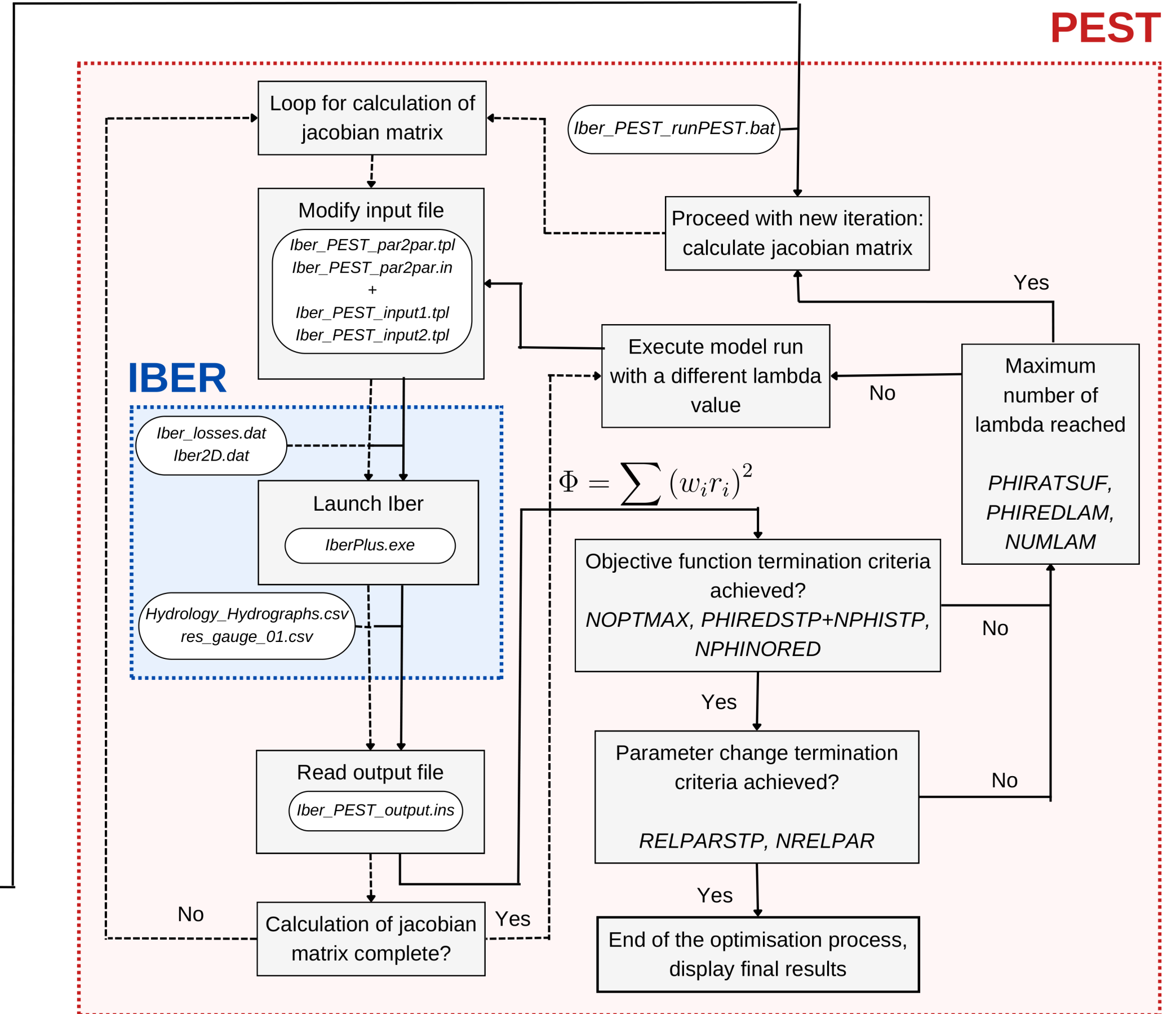


IBER-PEST

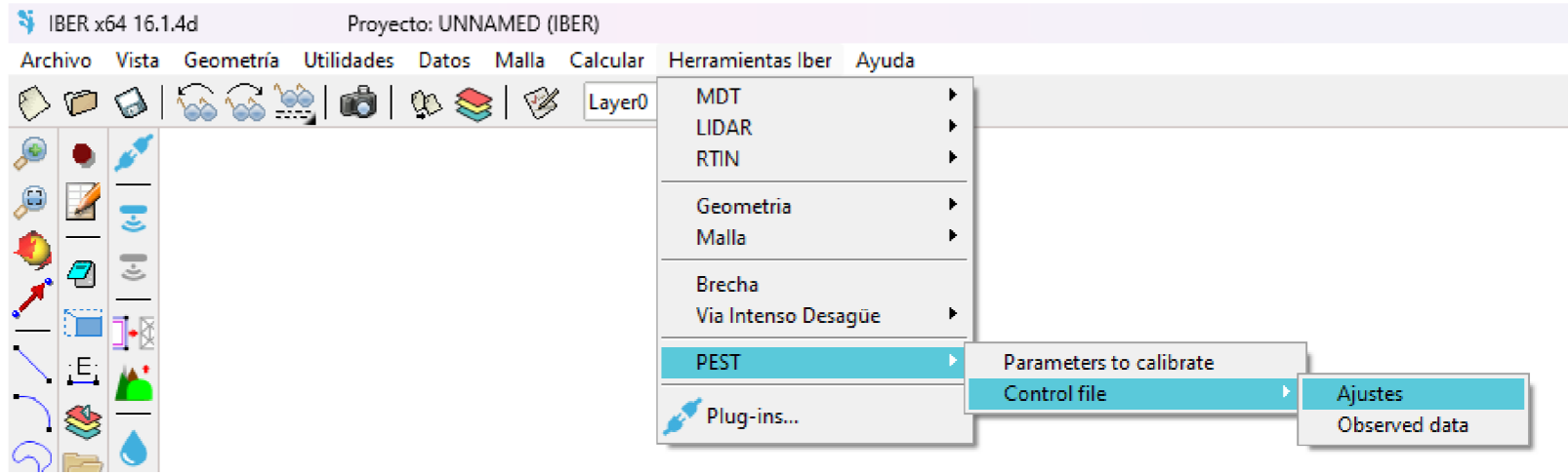
GiD (Preprocessing)



PEST



IBER-PEST interfaz



PEST Settings

PEST parameters

Rstfle Restart

Pestmode Estimation

NOPTMAX 30

PHIREDSTP 0.005

NPHISTP 4

NPHINORED 4

RELPARSTP 0.005

NRELPAR 4

PHIRATSUF 0.3

PHIREDLAM 0.03

NUMLAM 10

Folder path to...

PEST exes D:\Gonzalo\Escritorio\ModeloP

IBER exe D:\Gonzalo\Escritorio\ModeloP

Aplicar Cerrar

Parameters to calibrate

Rugosidad

Calibrate

With multiplier

With limits

Value to calibrate	lower limit	upper limit
0.025	0.02	0.18
0.035	0.02	0.18

Hydrological parameters

Calibrate

Modelo Green&Amp

Suction mutiplier 0.7 0.2 1.3

Total porosity mutip. 0.5 0 0.5

Init. saturation mutip. 0.5 0 1

Ks mutiplier 2.5 0.3 5

Initial loss mutip. 15 0 30

Soil depth mutiplier 2.5 0 5

Aplicar Cerrar

Observation data

Observations

Discharge at outlet

Discharge in stream gauç

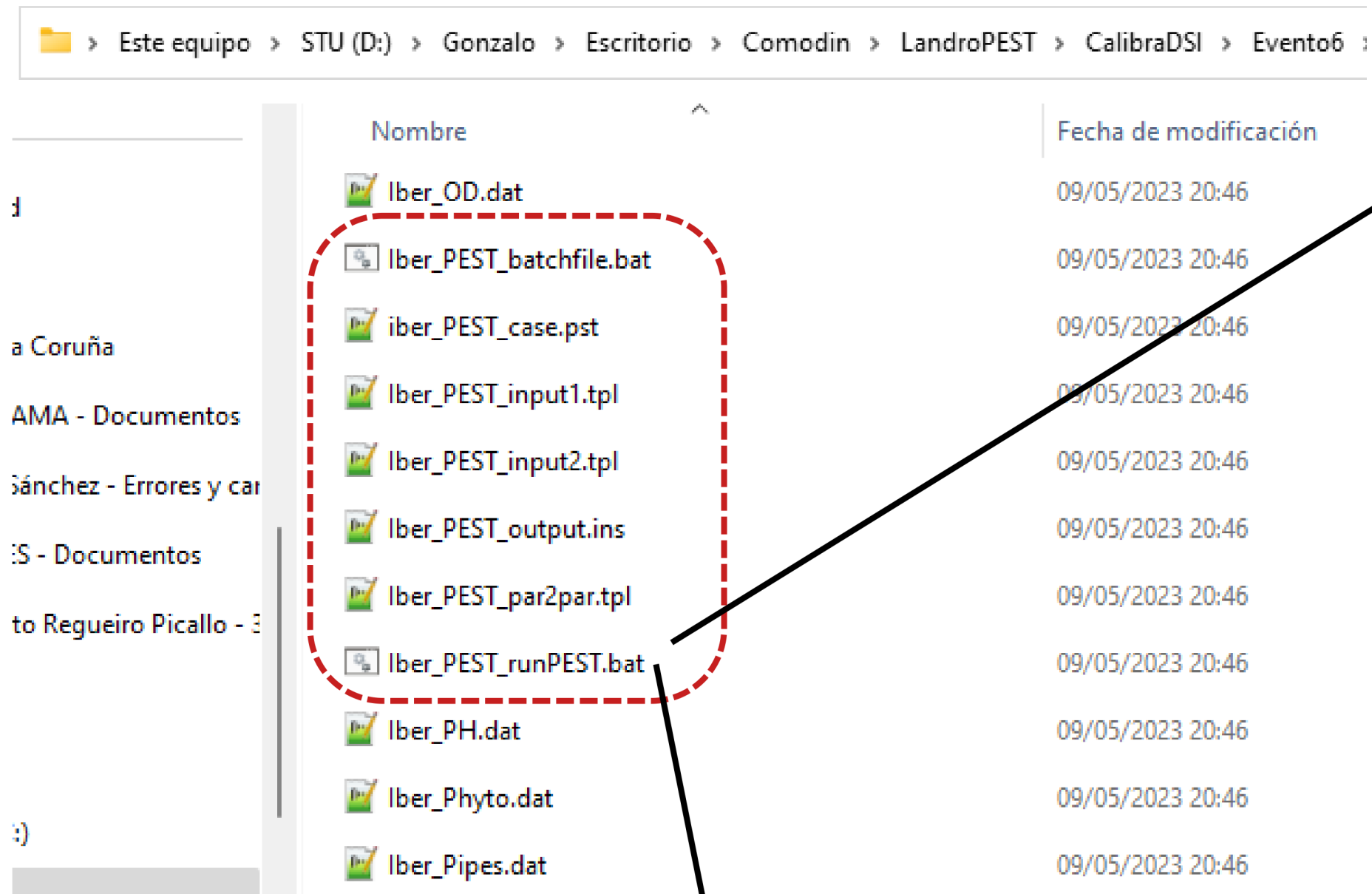
Water dept in gauge

Initial timestep 241

Tiempo (s)	Q obs (m3/s)	Weight
0	24.13061513	1
600	24.09169866	1
1200	24.013938	1
1800	23.85870587	1
2400	23.66520789	1
3000	23.62658058	1
3600	23.58797738	1
4200	23.51084326	1
4800	23.35686418	1
5400	23.27795284	1

Aplicar Cerrar

IBER-PEST ejecución

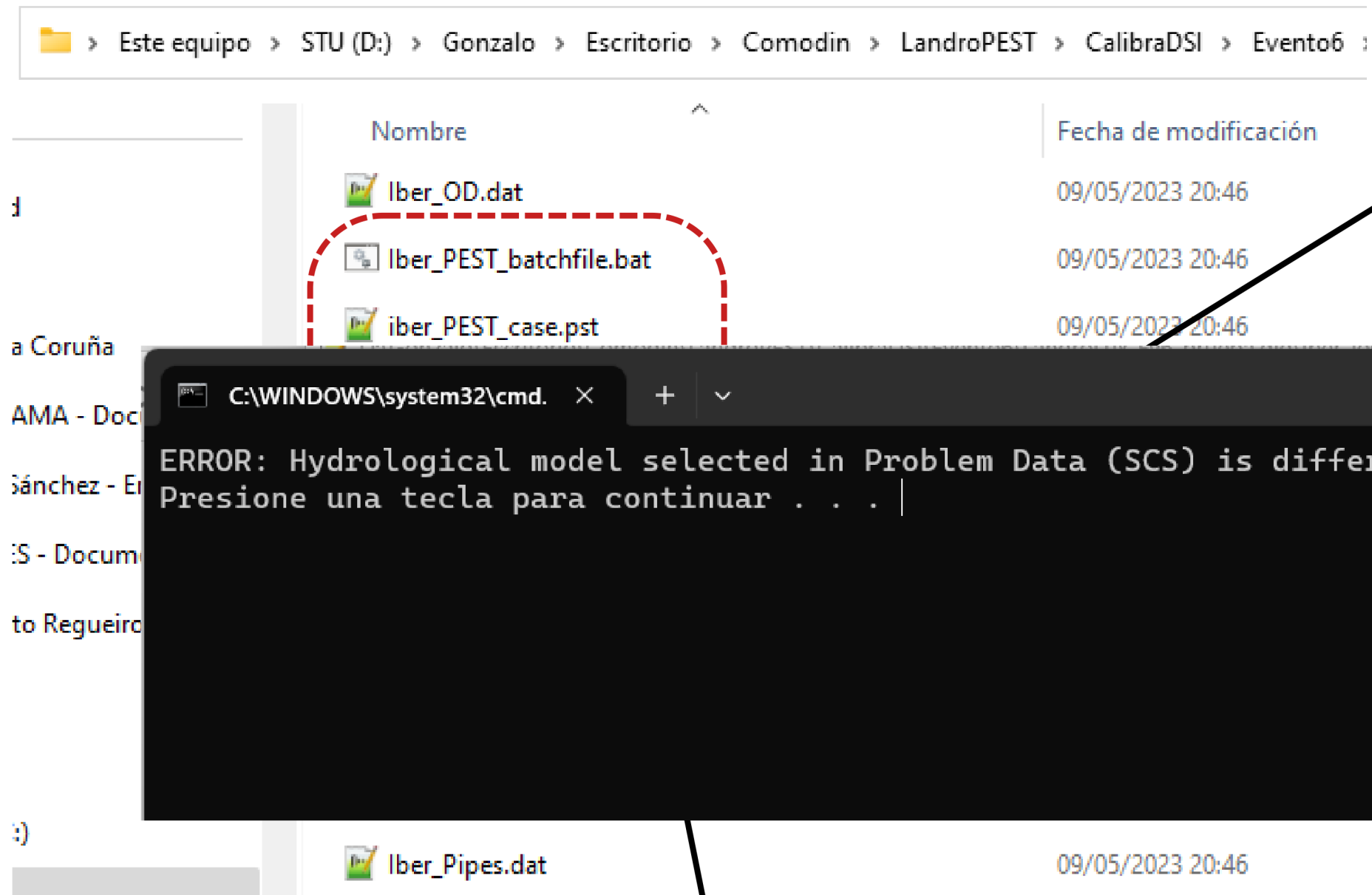


Comprobaciones:

- Pestchek
- Intervalo de tiempo de observaciones coincide con el intervalo de escritura del modelo
- Número de observaciones coincide con el número de outputs de Iber con los que comparar
- Modelo de infiltración elegido coincide con los parámetros a calibrar
- Activado el cálculo de pérdidas con infiltración si se calibran parámetros hidrológicos

Ejecuto IBER-PEST
haciendo doble click aquí

IBER-PEST ejecución



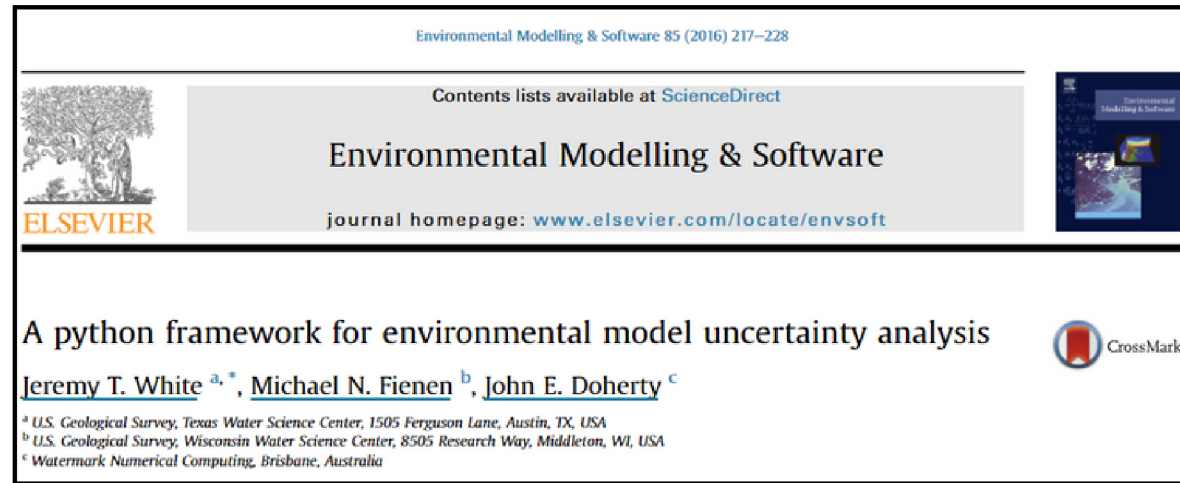
Comprobaciones:

- Pestchek
- Intervalo de tiempo de observaciones coincide con el intervalo de escritura

Ejecuto IBER-PEST
haciendo doble click aquí

infiltración si se cambian parámetros
hidrológicos

IBER-PEST + PyEMU



pyEMU

python modules for model-independent FOSM (first-order, second-moment) (a.k.a linear-based, a.k.a. Bayes linear) uncertainty analyses and data-worth analyses, non-linear uncertainty analyses and interfacing with PEST and PEST++. pyEMU also has a pure python (pandas and numpy) implementation of ordinary kriging for geostatistical interpolation and support for generating high-dimensional PEST(++) model interfaces, including support for (very) high-dimensional ensemble generation and handling

Algunas utilidades para IBER-PEST:

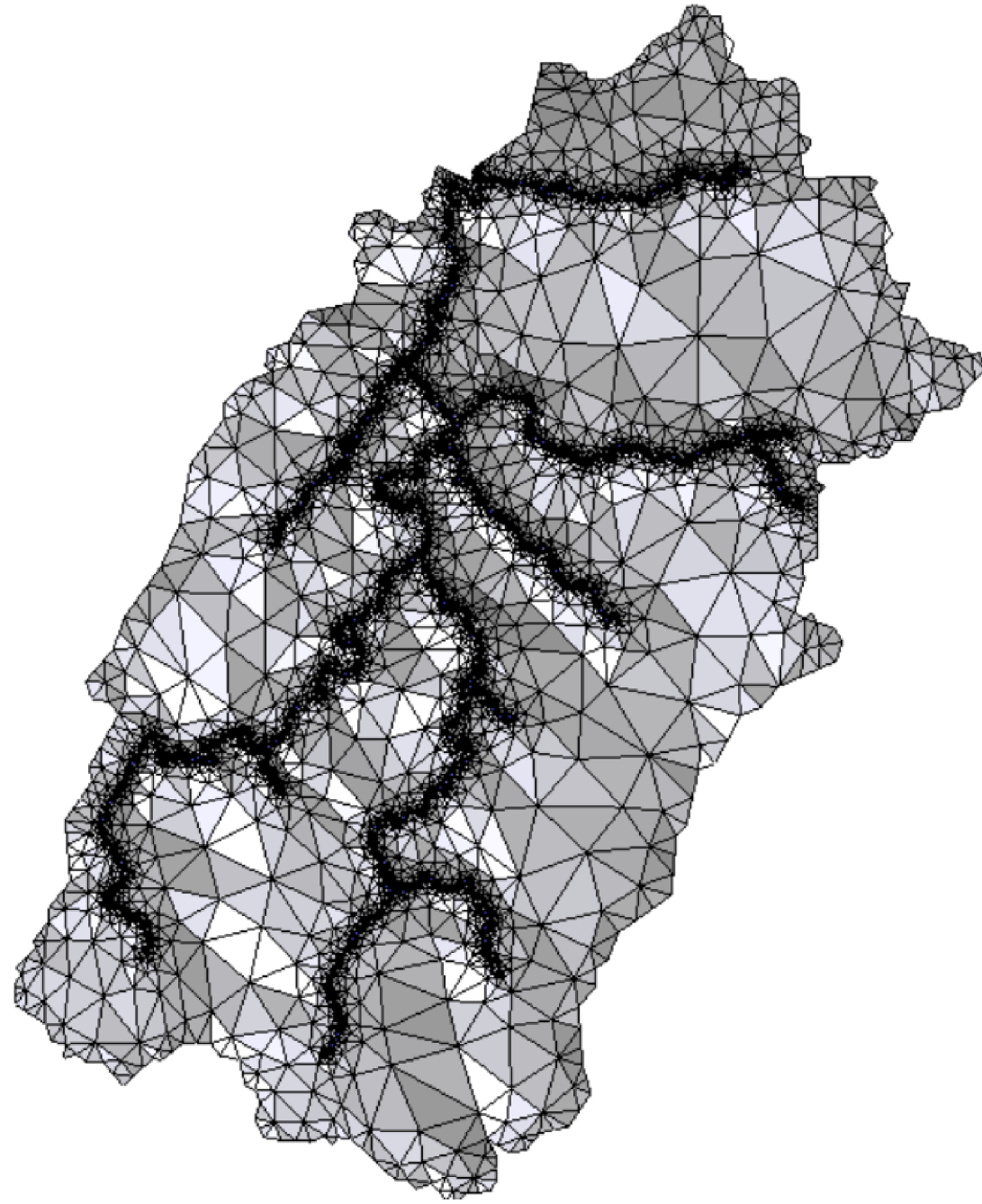
- Representar el resultado de PEST sin tener que bucear entre los txts
- Editar los txts de PEST sin tener que conocer la posición de cada una de las variables
- Crear nuevos txts necesarios para ejecutar otras funciones de PEST

```
import matplotlib.pyplot as plt
import pyemu
pst = pyemu.Pst("my.pst")
pyemu.plot_utils.phi_progress(pst)
plt.show()
```

```
pst = pyemu.Pst("my.pst")
pst.control_data.noptmax = -1
pst.write("my_new.pst")
```

```
cov = pyemu.Cov.from_parameter_data(pst)
cov.to_uncfile("my.unc")
```

Caso de estudio



Río Landro

200 km²
15K elementos
4 parámetros por elemento
1 ejecución = 3-10 min
Observación: caudal a la salida

Parámetro	Rango variación
Ks	[0, 10]
Sro	[0, 1]
Initial losses	[0, 40]
Multiplicador Manning	[0.5, 5]

IBER-PEST: Inputs

```

iber_PEST_case.pst x iber_pest_case.rec x iber_pest_case.par x iber_pest_case.obs+
1 pcf
2 * control data
3 restart estimation
4 4 289 4 0 1
5 1 1 single point 1 0 0
6 10.0 2.0 0.3 0.03 10
7 10.0 10.0 0.001
8 0.1
9 30 0.005 4 4 0.005 4
10 1 1 1
11 * singular value decomposition
12 1
13 4 5.0e-7
14 0
15 * parameter groups
16 Satmul relative 0.01 0.01 switch 2.0 parabolic
17 Ksmul relative 0.01 0.01 switch 2.0 parabolic
18 Losmul relative 0.01 0.01 switch 2.0 parabolic
19 Mannin relative 0.01 0.01 switch 2.0 parabolic
20 * parameter data
21 sam log factor 0.5 1e-10 1 Satmul 1.0 0.0 1
22 ksm log factor 1 1e-10 10 Ksmul 1.0 0.0 1
23 lom log factor 5 1e-10 40 Losmul 1.0 0.0 1
24 mam log factor 1 0.5 5 Mannin 1.0 0.0 1
25 * observation groups
26 Obs
27 * observation data
28 obs1 16.66545708 16.66545708 Obs
29 obs2 16.56030677 16.56030677 Obs
  
```

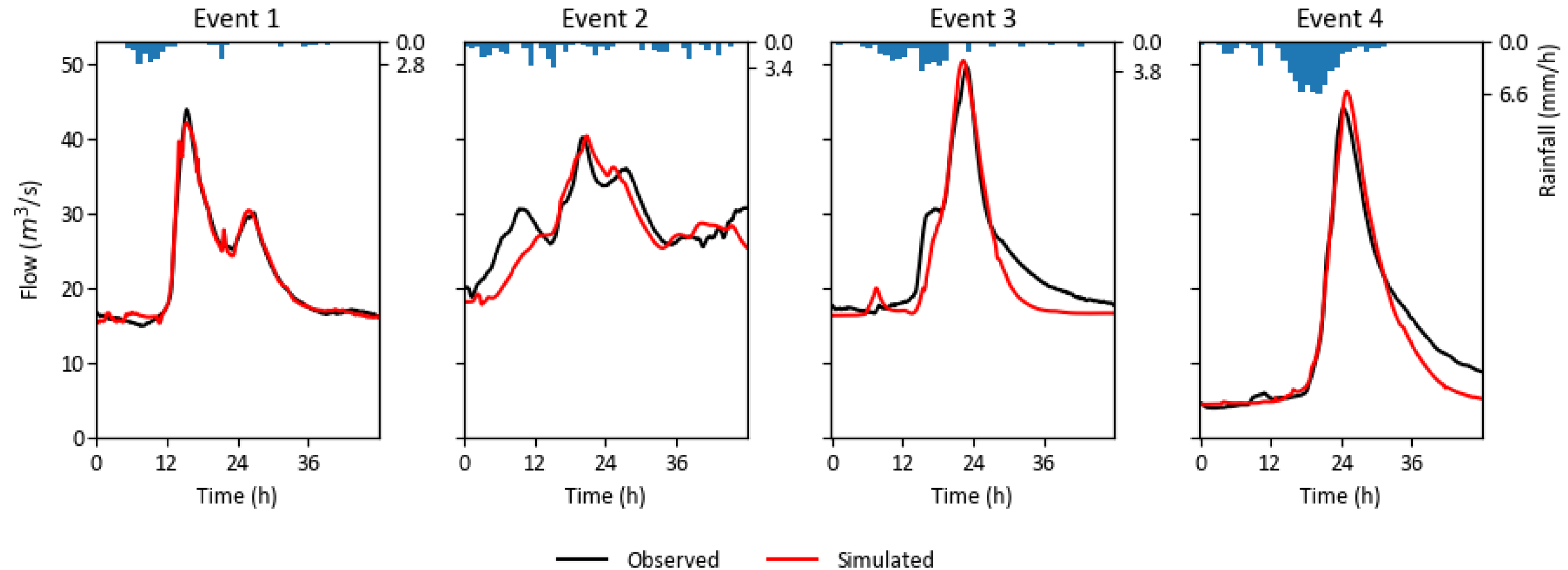
```

iber_PEST_par2par.tpl x iber_PEST_case.pst x iber_pest_case
1 ptf $
2 * parameter data
3 msa = $ sam $
4 mks = $ ksm $
5 nio = $ lom $
6 n1 = 0.025 * $ mam $
7 n2 = 0.04 * $ mam $
8 n3 = 0.035 * $ mam $
9 n4 = 0.045 * $ mam $
10 n5 = 0.07 * $ mam $
11 n6 = 0.065 * $ mam $
12 * template and model input files
13 Iber_PEST_input1.tpl Iber_losses.dat
14 Iber_PEST_input2.tpl Iber2D.dat
15 * control data
16 single point
17
  
```

```

iber_PEST_input2.tpl x iber_pest_control.svd x iber_pest_control.sen x iber_PEST_output.ins x Hydro
1 ptf #
2 LandroLux_Ev6
3 10 388800 600 101 0.7 0.0001 0 0 0 0 Disabled 600
4 MATRIU
5 15894
6 2851 2858 2860 2851 #n1 # 1
7 5472 5475 5474 5472 #n1 # 2
8 6011 6022 6027 6011 #n1 # 3
9 750 744 754 750 #n1 # 4
10 7466 7469 7458 7466 #n1 # 5
11 5855 5853 5841 5855 #n1 # 6
12 2884 2876 2868 2884 #n1 # 7
13 1821 1831 1797 1821 #n1 # 8
14 4365 4357 4359 4365 #n1 # 9
15 4853 4856 4840 4853 #n1 # 10
16 590 591 600 590 #n1 # 11
17 5995 6011 6004 5995 #n1 # 12
  
```

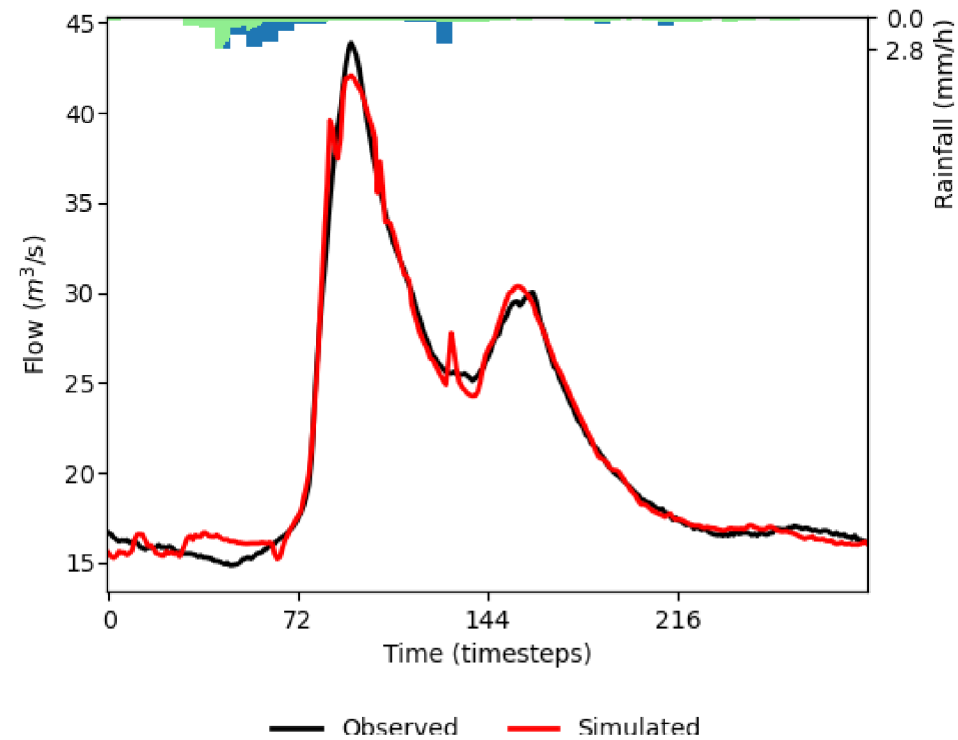

IBER-PEST: Resultados



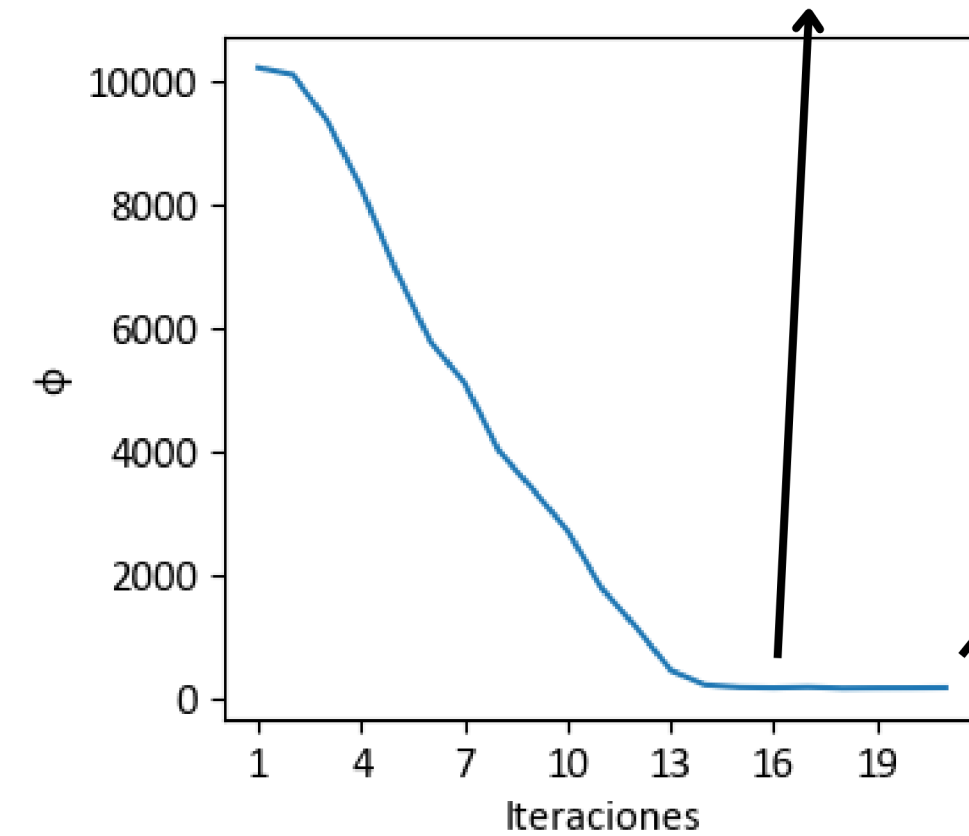
NSE			
Ev 1	Ev 2	Ev 3	Ev 4
0.989	0.606	0.886	0.950

IBER-PEST: Resultados

16 iteraciones
157 simulaciones

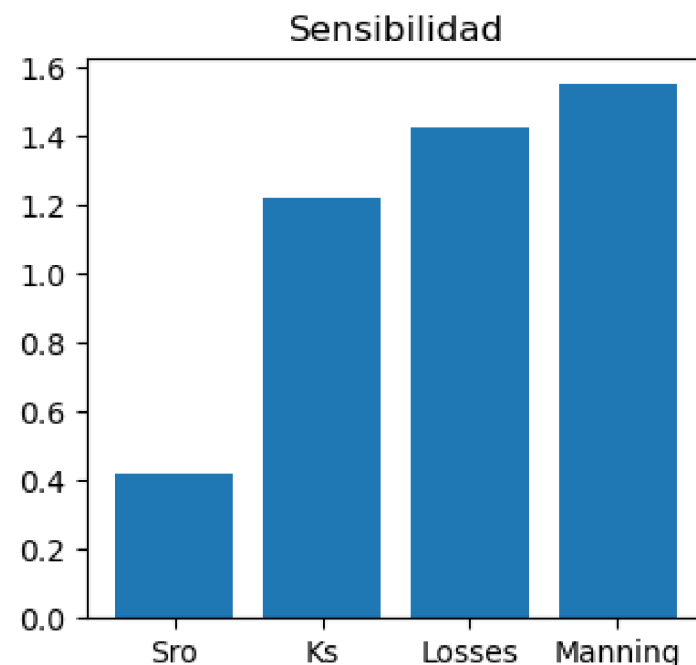


Parámetro	Valor
NSE	0.989
MAE	1.2%
Error rel V	0.5%
KGE	0.990
WNSE	0.993



21 iteraciones
221 simulaciones

Parámetro	Valor calibrado
Ks	0.383
Sro	0.553
Initial losses	5.996
Multiplicador Manning	1.455



```

-----
OPTIMISATION ITERATION NO.      : 21

CURRENT VALUE OF MARQUARDT LAMBDA = 4.883E-03 ----->

SINGULAR VALUES:-
 373146.9      292994.4      96515.55      15779.27

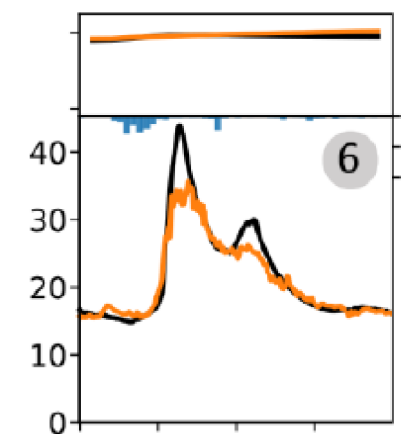
Number of singular values used in solution = 4

CURRENT VALUE OF MARQUARDT LAMBDA = 2.441E-03 ----->

SINGULAR VALUES:-
 373102.0      292949.4      96470.59      15734.30

Number of singular values used in solution = 4
    
```

Anteriormente
con Renaud...



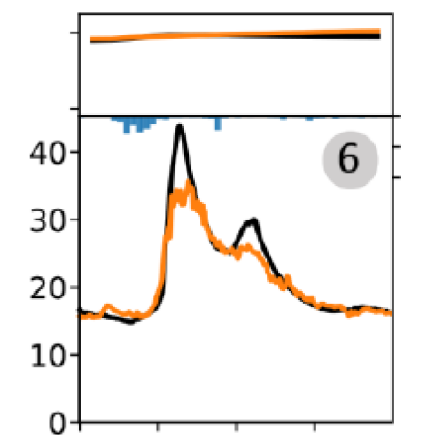
NSE=0.90
180 simulaciones

IBER-PEST: Resultados

García-Alén, G., Hostache, R., Cea, L., & Puertas, J. (2023). Joint assimilation of satellite soil moisture and streamflow data for the hydrological application of a two-dimensional shallow water model. *Journal of Hydrology*



Anteriormente
con Renaud...



NSE=0.90
180 simulaciones

IBER-PEST: Nivel pro

Environmental Modelling and Software 109 (2018) 191–201



Contents lists available at [ScienceDirect](#)

Environmental Modelling & Software

journal homepage: www.elsevier.com/locate/envsoft



pestpp-ies

A model-independent iterative ensemble smoother for efficient history-matching and uncertainty quantification in very high dimensions

Jeremy T. White

GNSScience, Wairakei, New Zealand



ARTICLE INFO

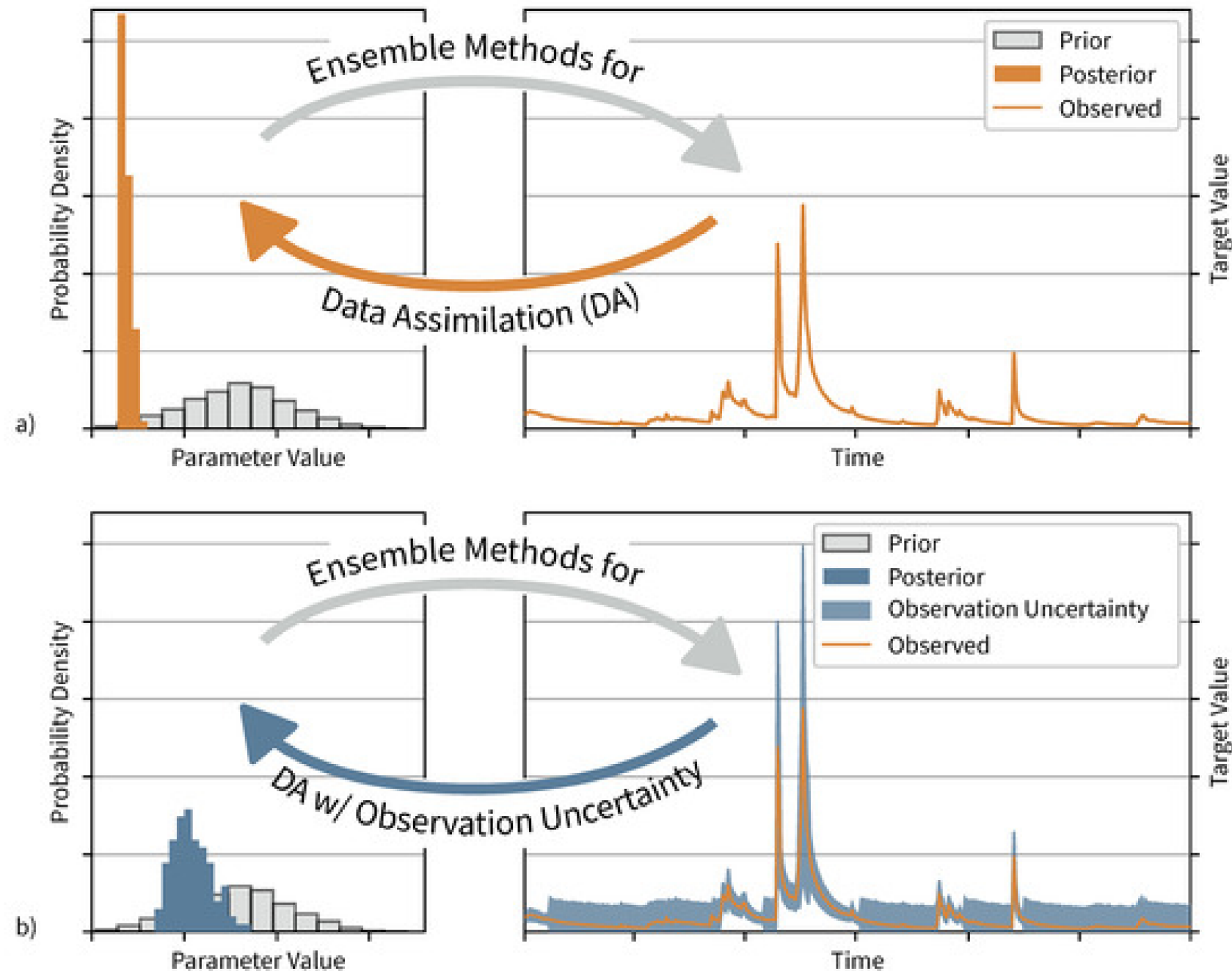
Keywords:

Modeling
Uncertainty
Iterative ensemble smoother
Gauss-Levenberg-Marquardt

ABSTRACT

An open-source, scalable and model-independent (non-intrusive) implementation of an iterative ensemble smoother has been developed to alleviate the computational burden associated with history-matching and uncertainty quantification of real-world-scale environmental models that have very high dimensional parameter spaces. The tool, named pestpp-ies, implements the ensemble-smoother form of the popular Gauss-Levenberg-Marquardt algorithm, uses the pest model-interface protocols and includes a built-in parallel run manager,

pestpp-ies



Fuente: <https://doi.org/10.3390/w15061133>

Proceso de cálculo

1. Generación de un conjunto de parámetros iniciales (prior) y simulación del modelo con estos parámetros para obtener un conjunto de resultados (prior predictive ensemble).
2. Comparación de los resultados del modelo con los valores observados para obtener el conjunto de residuos (residual ensemble).
3. Cálculo de una matriz de covarianza de los residuos.
4. Adición de la incertidumbre de medición a la matriz de covarianza para obtener la matriz de covarianza de observación.
5. Aplicación de un algoritmo de filtrado de ensambles (ensemble smoother) que actualiza los parámetros iniciales (prior) para producir un conjunto de parámetros ajustados (posterior) que mejor se ajusten a los datos observados, teniendo en cuenta la matriz de covarianza de observación.
6. Simulación del modelo con el conjunto de parámetros ajustados (posterior predictive ensemble).
7. Comparación de los resultados del modelo con los datos observados y evaluación de la calidad del ajuste.
8. Repetición de los pasos 2 a 7 hasta que se cumpla un criterio de convergencia.

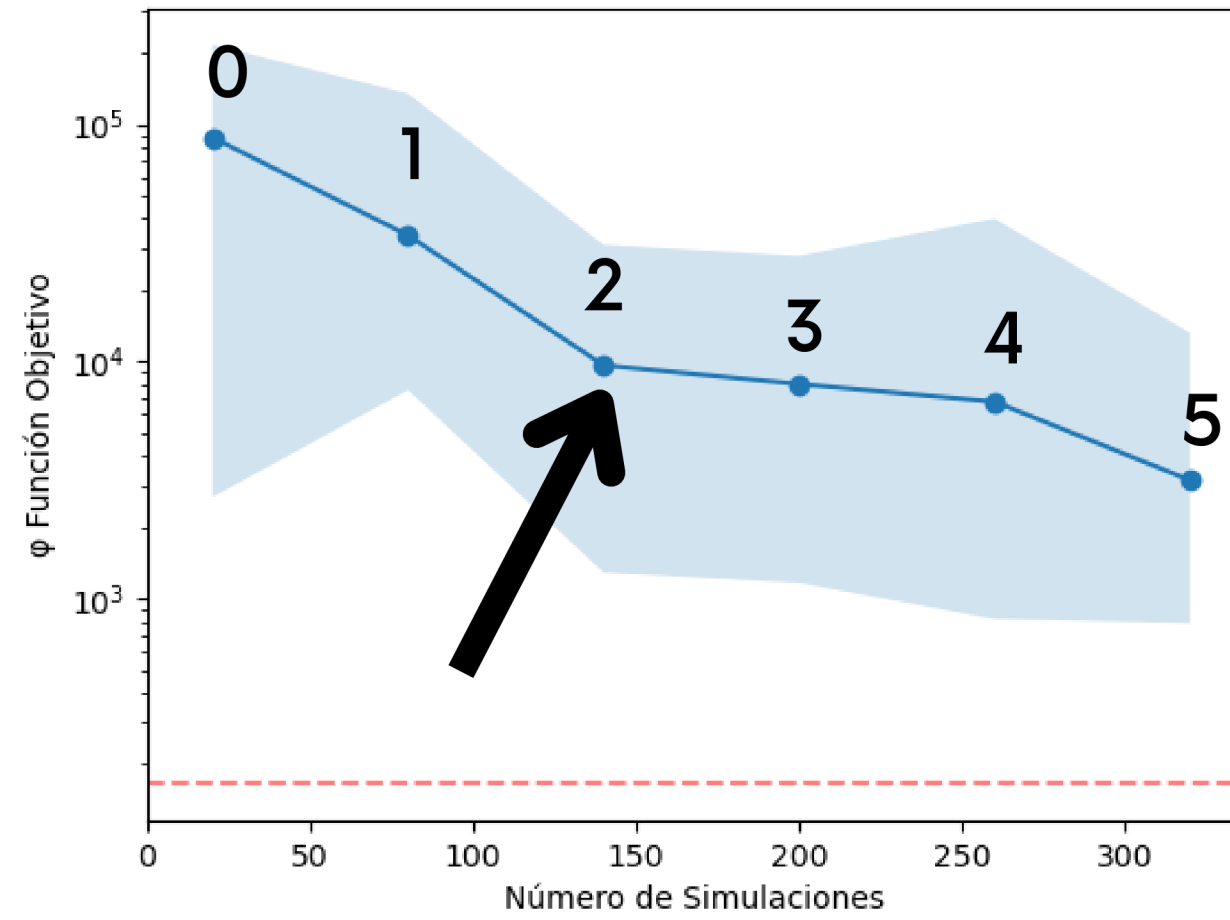
pestpp-ies: caso de estudio

```
iber_PEST_case.pst x cov.mat x cov.mat x iber_pest_case.rec x iber_pest_case.0.par.csv x
298 obs271 16.70056866 1 Obs
299 obs272 16.77088402 1 Obs
300 obs273 16.77088402 1 Obs
301 obs274 16.73571097 1 Obs
302 obs275 16.63037624 1 Obs
303 obs276 16.56030677 1 Obs
304 obs277 16.66545708 1 Obs
305 obs278 16.52531814 1 Obs
306 obs279 16.52531814 1 Obs
307 obs280 16.56030677 1 Obs
308 obs281 16.42053667 1 Obs
309 obs282 16.42053667 1 Obs
310 obs283 16.31603183 1 Obs
311 obs284 16.49036024 1 Obs
312 obs285 16.24651562 1 Obs
313 obs286 16.28125836 1 Obs
314 obs287 16.21180362 1 Obs
315 obs288 16.17712236 1 Obs
316 obs289 16.10785205 1 Obs
317 * model command line
318 Iber_PEST_batchfile.bat
319 * model input/output
320 Iber_PEST_par2par.tpl Iber_PEST_par2par.in
321 Iber_PEST_output.ins \TimeSeries\Hydrology_Hydrographs.csv
322 ++ ies_num_reals(20)
323 ++ parcov(param.unc)
324 ++ ies_subset_size(5)
325 ++ ies_lambda_mults(0.1,1.0,10.0)
326
```

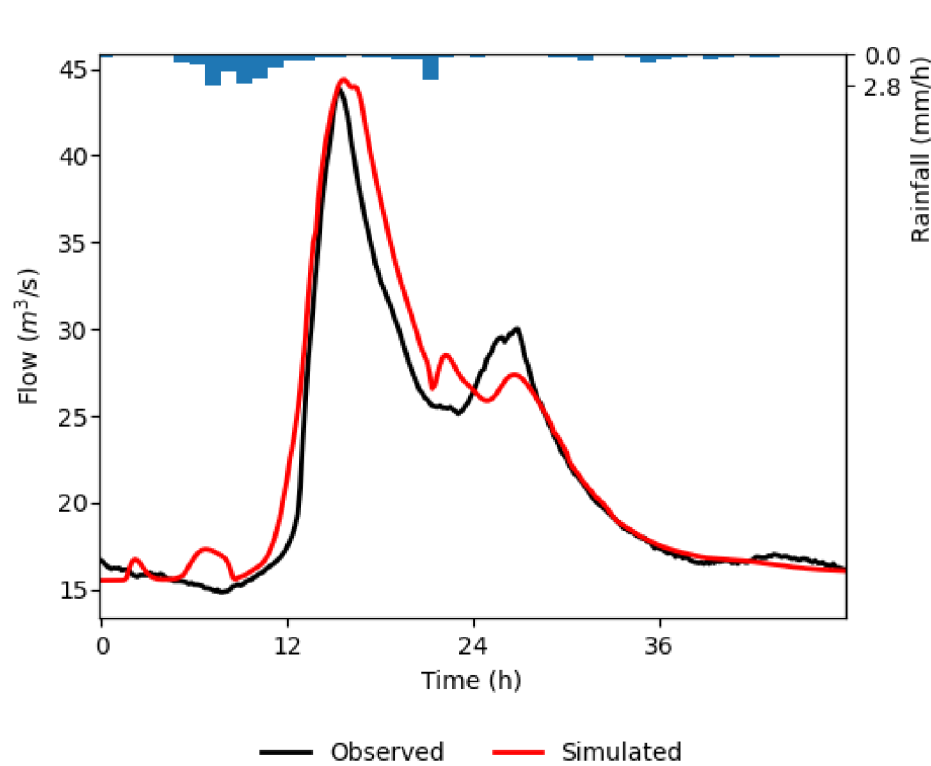
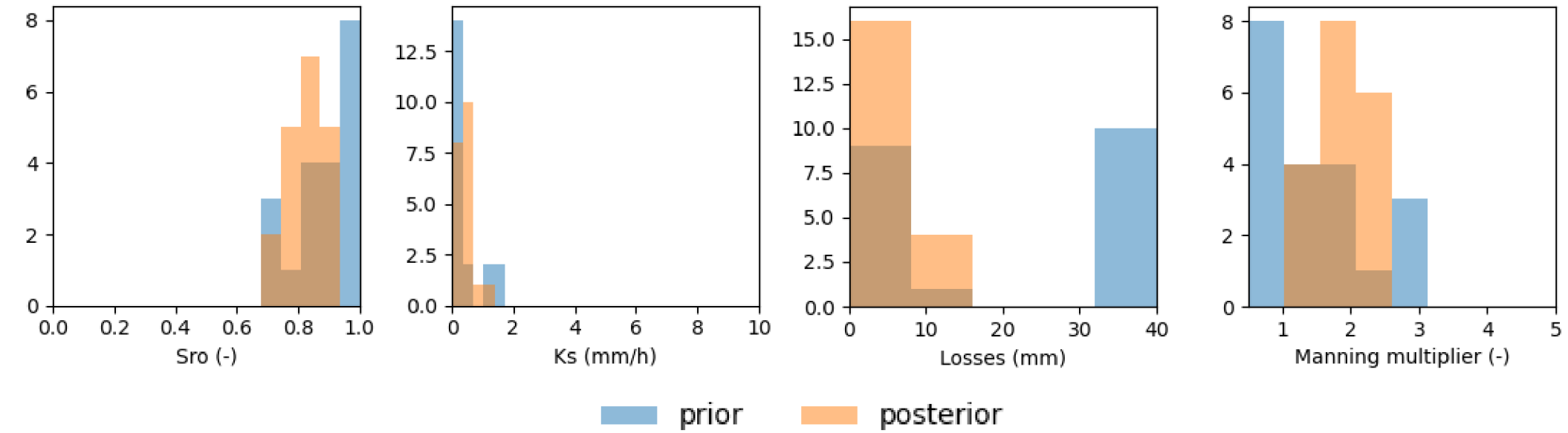
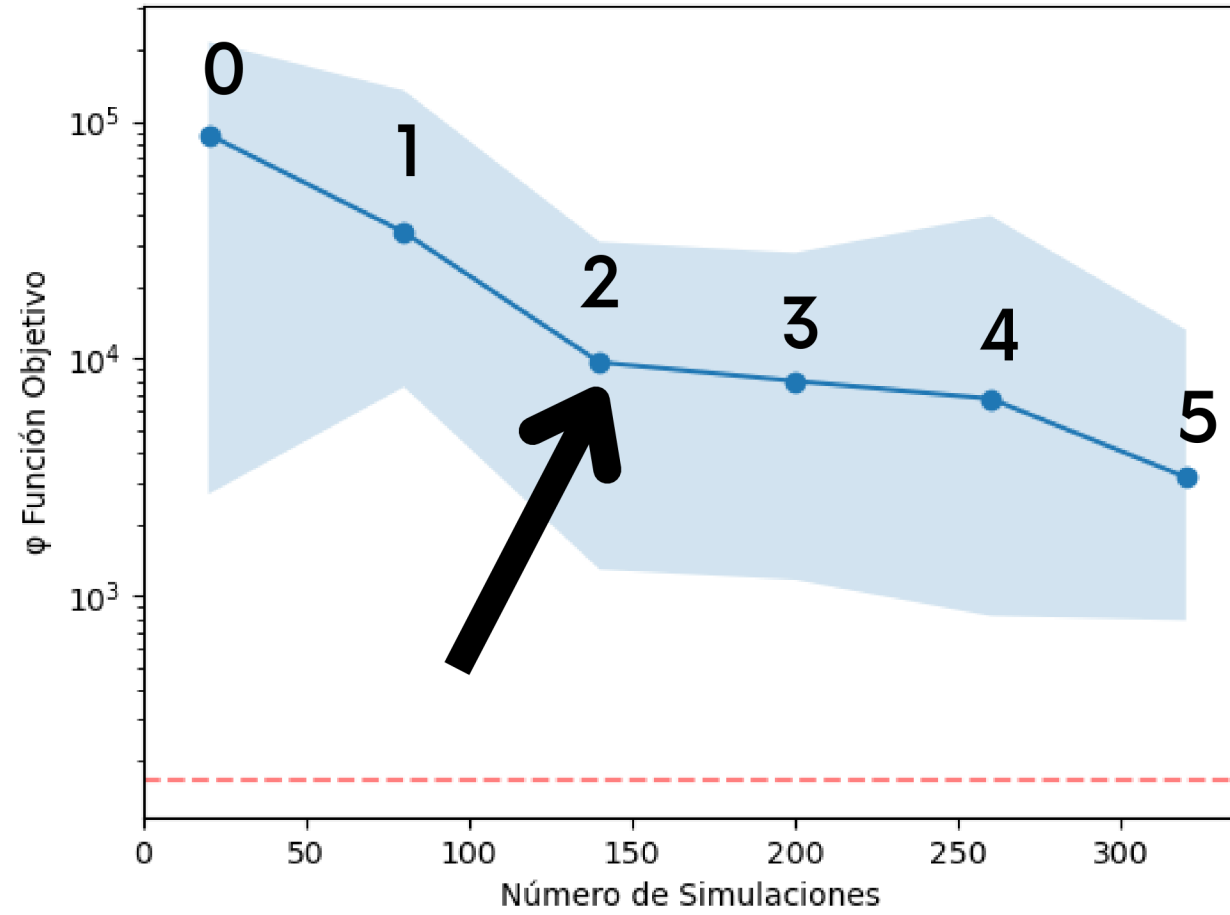
Inputs:

- Ensemble de tamaño 20
- Matrices de covarianza (conocimiento experto)
- Número de miembros del ensemble con los que experimenta con las lambdas
- Número de lambdas que calcula en cada iteración

pestpp-ies: Resultados

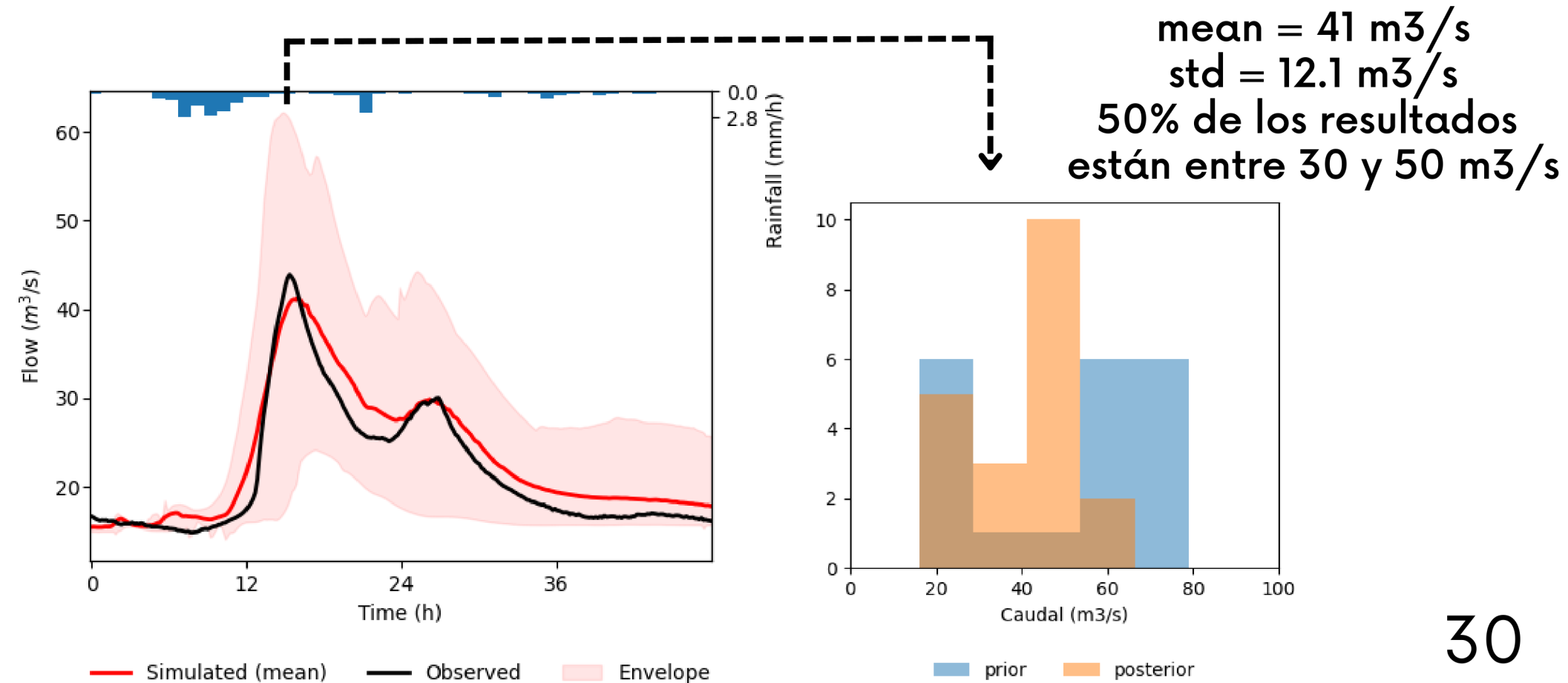


pestpp-ies: Resultados



Parámetro	Valor
NSE	0.930
MAE	2.88%
Error rel V	3.58%
KGE	0.931
WNSE	0.889

Parámetro	Valor calibrado
Ks	0.501
Sro	0.876
Initial losses	2.865
Multiplicador Manning	1.984



pestpp-ies: Data space inversion

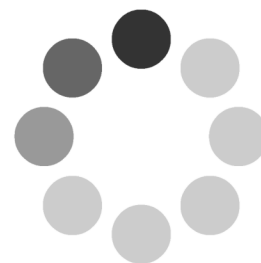
Utilizo la función pestpp-ies para crear un modelo subrogado



Principle Component Analysis (PCA) de la matriz de covarianza entre outputs del modelo



Ejecuto mi modelo de Iber 100 veces y hago todas las pruebas que quiera con mi modelo subrogado



Futuras líneas de desarrollo?

- Artículo IBER-PEST

Nat Hazards (2018) 91:697–715
<https://doi.org/10.1007/s11069-017-3150-6>



ORIGINAL PAPER

Flood modelling improvement using automatic calibration of two dimensional river software SRH-2D

Simon Deslauriers¹ · Tew-Fik Mahdi¹

- Extender IBER-PEST a más parámetros de Iber

Springer Link

[Home](#) > [Environmental Monitoring and Assessment](#) > [Article](#)

Published: 16 May 2020

Automated calibration of the EPA-SWMM model for a small suburban catchment using PEST: a case study

[Roberto Perin](#) , [Matteo Trigatti](#), [Matteo Nicolini](#), [Marina Campolo](#) & [Daniele Goi](#)

Environmental Monitoring and Assessment **192**, Article number: 374 (2020) | [Cite this article](#)

1170 Accesses | 19 Citations | [Metrics](#)

- Manual IBER-PEST

- Herramienta IBER-PEST pública

- JIA 2023

Muchas gracias!

Gonzalo García-Alén
g.glores@udc.es

Referencias

Doherty, J., 2015. Calibration and Uncertainty Analysis for Complex Environmental Models. Watermark Numerical Computing, Brisbane, Australia. ISBN: 978-0-9943786-0-6.

White, J.T., Hunt, R.J., Fienen, M.N., and Doherty, J.E., 2020, Approaches to Highly Parameterized Inversion: PEST++ Version 5, a Software Suite for Parameter Estimation, Uncertainty Analysis, Management Optimization and Sensitivity Analysis: U.S. Geological Survey Techniques and Methods 7C26, 52 p., <https://doi.org/10.3133/tm7C26>.

Doherty, J. (2020) PEST, Model-Independent Parameter Estimation—User Manual. 7th Edition, with Slight Additions, Watermark Numerical Computing, Brisbane.

Doherty, J., and Pryet, A. (2023). PEST Course - Model calibration and predictive uncertainty analysis [Slides]. 3 al 7 de abril de 2023. Ensegid-Bordeaux-INP, Bordeaux.